UNE FORMULE POUR LE GROUPE DE BRAUER ALGÉBRIQUE D'UN TORSEUR

CYRIL DEMARCHE

Abstract. For a homogeneous space X of a connected algebraic group G (with connected stabilizers) over a field k of characteristic zero, we construct a canonical complex of Galois modules of length 3 and a canonical isomorphism between an hypercohomology group of this complex and an explicit subgroup of the Brauer group of X. This result is obtained as a consequence of a formula describing the "algebraic Brauer group of a torsor", and it generalizes recent results by Borovoi and van Hamel, by considering non-linear groups G and by taking into account some transcendental elements in the Brauer group of X.

Résumé. Étant donné un espace homogène X d'un groupe algébrique connexe G (à stabilisateurs connexes) sur un corps k de caractéristique nulle, on construit un complexe de modules galoisiens de longueur 3 et un isomorphisme canonique entre un groupe d'hypercohomologie de ce complexe et un sous-groupe explicite du groupe de Brauer de X. Ce résultat est une conséquence d'une formule décrivant le "groupe de Brauer algébrique d'un torseur", et il généralise des résultats récents de Borovoi et van Hamel, en considérant des groupes G non linéaires, et en prenant en compte certains éléments transcendants du groupe de Brauer de X.

0. Introduction

L'objectif principal de cet article est de comprendre le groupe de Brauer (ou au moins une partie de celui-ci) d'un espace homogène d'un groupe algébrique connexe à stabilisateurs connexes et d'en obtenir une description explicite. L'un des intérêts de la formule démontrée ici réside dans le fait qu'elle prenne en compte une partie des éléments transcendants du groupe de Brauer, et pas seulement le groupe de Brauer algébrique.

Précisons quelques notations : k est un corps de caractéristique nulle, $\overline{k}$ une clôture algébrique de k, Γ_k le groupe de Galois absolu de k, G un k-groupe algébrique connexe (pas forcément linéaire) et X un espace homogène de G, à stabilisateurs géométriques connexes. On note $\overline{H}$ le stabilisateur (défini sur $\overline{k}$ a priori) d'un point fermé $\overline{x} \in X(\overline{k})$. Remarquons qu'un tel point $\overline{x}$ définit un morphisme de $\overline{k}$-variétés $\pi : \overline{G} \to \overline{X}$. On définit alors $\mathrm{Br}_1(X,G)$ comme le noyau de l'application composée :

$$\mathrm{Br}(X) \to \mathrm{Br}(\overline{X}) \xrightarrow{\pi^*} \mathrm{Br}(\overline{G}) .$$

Il est clair que le groupe $\mathrm{Br}_1(X,G)$ contient le groupe de Brauer algébrique $\mathrm{Br}_1(X) := \mathrm{Ker}(\mathrm{Br}(X) \to \mathrm{Br}(\overline{X}))$, et il peut être strictement plus gros. On notera aussi $\mathrm{Br}_a(X,G) := \mathrm{Br}_1(X,G)/\mathrm{Br}(k)$.

Par le théorème de Chevalley (voir [Che60] et [Ros56], théorème 16 ; voir également [Con02] pour une preuve "moderne"), le groupe G est extension d'une variété abélienne

Date: 23 novembre 2010.
2000 *Mathematics Subject Classification.* Primary: 14M17; Secondary : 14F22, 20G15, 18E30.

par un groupe linéaire connexe

$$1 \to G^{\mathrm{lin}} \to G \to G^{\mathrm{ab}} \to 1\,.$$

On note G^{red} le quotient de G^{lin} par son radical unipotent, G^{ss} le groupe dérivé de G^{red} et G^{sc} le revêtement simplement connexe de G^{ss}. Soit T_G (resp. $T_{G^{\mathrm{sc}}}$) un tore maximal de G^{red} (resp. G^{sc}). Un résultat général sur les espaces homogènes (voir [BCTS08], proposition 3.1) assure que, quitte à remplacer G par un groupe connexe G', on peut supposer $\overline{H}$ linéaire. Notons que les centres $Z_{\overline{H}^{\mathrm{red}}}$ et $Z_{\overline{H}^{\mathrm{sc}}}$ des groupes $\overline{H}^{\mathrm{red}}$ et $\overline{H}^{\mathrm{sc}}$ sont canoniquement définis sur k. Le module des caractères d'un groupe algébrique F/k est noté $\widehat{F} := \mathrm{Hom}_{\overline{k}-\mathrm{gr}}(\overline{F}, \mathbf{G}_{m\overline{k}})$. On est en mesure d'énoncer l'un des résultats principaux :

Théorème. *Soit X un k-espace homogène d'un groupe algébrique connexe G/k, à stabilisateur géométrique linéaire connexe $\overline{H}$.*

- *On suppose $\mathrm{Pic}(\overline{G}) = 0$. Définissons le complexe naturel de modules galoisiens*
$$\widehat{\widehat{C}}_X := \left[\widehat{G} \to \widehat{Z_{\overline{H}^{\mathrm{red}}}} \to \widehat{Z_{\overline{H}^{\mathrm{sc}}}}\right]\,,$$
avec $\widehat{G}$ en degré 0. On a alors une suite exacte canonique
$$0 \to \mathrm{Br}_a(X, G) \to \mathbf{H}^2(k, \widehat{\widehat{C}}_X) \to \mathrm{Ker}(H^3(k, \mathbf{G}_m) \to H^3(X, \mathbf{G}_m))\,,$$
qui induit un isomorphisme $\mathrm{Br}_a(X, G) \cong \mathbf{H}^2(k, \widehat{\widehat{C}}_X)$ si $X(k) \neq \emptyset$ ou $H^3(k, \mathbf{G}_m) = 0$.
- *On suppose $X(k) \neq \emptyset$ (on ne suppose plus $\mathrm{Pic}(\overline{G}) = 0$). Définissons le complexe*
$$\widehat{C}'_X := \left[\widehat{T_G} \to \mathrm{Pic}(\overline{G}^{\mathrm{ab}}) \oplus \widehat{T_{G^{\mathrm{sc}}}} \oplus \widehat{T_H} \to \widehat{T_{H^{\mathrm{sc}}}}\right]\,,$$
avec $\widehat{T_G}$ en degré 0. On a alors un isomorphisme canonique
$$\mathrm{Br}_a(X, G) \cong \mathbf{H}^2(k, \widehat{C}'_X)\,.$$

Remarquons au passage que l'hypothèse $H^3(k, \mathbf{G}_m) = 0$ dans la première partie est vérifiée par exemple si k est un corps de nombres, un corps p-adique, ou un corps de fonctions d'une courbe sur un corps de nombres ou sur un corps p-adique. On voit aussi qu'il suffit que le morphisme $H^3(k, \mathbf{G}_m) \to H^3(X, \mathbf{G}_m)$ soit injectif pour avoir un isomorphisme, ce qui est par exemple le cas lorsque X a un zéro-cycle de degré 1.

Ce résultat s'inscrit à la suite d'un ensemble de travaux sur le groupe de Brauer des groupes algébriques et de leurs espaces homogènes. En 1981, Sansuc démontre (voir [San81], lemme 6.9) une formule décrivant le groupe $\mathrm{Br}_a(X)$ quand X est un tore ou un groupe semi-simple. Dans [BvH09], Borovoi et van Hamel introduisent le complexe $\mathrm{UPic}(\overline{X})$ et généralisent les résultats de Sansuc dans le cas où X est un groupe linéaire connexe (voir [BvH09], corollaire 7), reformulant par là même un résultat de Kottwitz (voir [Kot84], 2.4). Puis les mêmes auteurs calculent le groupe $\mathrm{Br}_a(X)$ pour un espace homogène d'un groupe linéaire connexe : voir [BvH06], corollaire 3.2 et [BvH10], théorème 7.2. Mentionnons également que Harari et Szamuely construisent dans [HS08], section 4, un morphisme canonique $\iota : \mathbf{H}^1(k, M^*) \to \mathrm{Br}_a(X)$ compatible avec l'obstruction de Brauer-Manin, où X est un torseur sous une variété semi-abélienne S et M^* est le 1-motif dual de S. Enfin, on peut citer un résultat concernant le groupe de Brauer non ramifié d'un espace homogène : Colliot-Thélène et Kunyavskiĭ ont obtenu une formule décrivant le groupe de Brauer algébrique d'une compactification lisse d'un espace homogène à stabilisateurs connexes (voir [CTK06], théorème A).

Le théorème principal de ce texte est donc à la fois une unification et une généralisation de tous ces résultats (hormis celui concernant le groupe de Brauer non ramifié). L'intérêt

principal de cette généralisation est la prise en compte de certains éléments transcendants du groupe de Brauer, contrairement aux résultats mentionnés qui se limitaient à $\mathrm{Br}_a(X)$. Outre l'intérêt théorique de décrire l'ensemble du groupe $\mathrm{Br}(X)$, l'une des motivations pour l'introduction et l'étude du groupe $\mathrm{Br}_a(X,G)$ réside dans les résultats récents obtenus par Borovoi et l'auteur dans [BD10] à propos du défaut d'approximation forte dans les espaces homogènes sur les corps de nombres (voir notamment le théorème 1.4 de [BD10]). Le groupe $\mathrm{Br}_a(X,G)$ y apparaît en effet de façon naturelle comme le sous-groupe minimal de $\mathrm{Br}(X)$ permettant de décrire l'adhérence des points rationnels dans l'ensemble des points adéliques de X, à l'aide de l'obstruction de Brauer-Manin. En effet, si le groupe de Brauer algébrique est suffisant pour l'obstruction de Brauer-Manin au principe de Hasse et à l'approximation faible sur X, ce n'est pas le cas pour l'obstruction à l'approximation forte et au principe de Hasse pour les points entiers, où une obstruction transcendante est en général nécessaire (voir [BD10] contre-exemple 1.6 et [CTX09] remarque 2.11). Ainsi le théorème énoncé dans cette introduction, en regard du résultat principal de [BD10], donne-t-il une formule explicite et calculable, en termes de l'hypercohomologie d'un complexe de modules galoisiens, pour le défaut d'approximation forte dans un espace homogène sur un corps de nombres.

Mentionnons également que l'on obtient au passage dans ce texte des résultats généraux concernant le “groupe de Brauer algébrique des torseurs” : si $\pi : Y \xrightarrow{H} X$ est un torseur sous un groupe linéaire connexe H, on donne une formule (voir section 3, théorème 3.1 et ses corollaires) décrivant le groupe $\mathrm{Br}_1(X,Y) := \mathrm{Ker}(\mathrm{Br}(X) \xrightarrow{\pi^*} \mathrm{Br}(Y) \to \mathrm{Br}(\overline{Y}))$. Cette formule est une généralisation naturelle des résultats classiques de Sansuc sur le groupe de Brauer des torseurs.

Remerciements. Je remercie chaleureusement Mikhail Borovoi, Jean-Louis Colliot-Thélène et David Harari pour leurs précieux commentaires sur cet article.

1. Préliminaires sur les groupes de Picard et de Brauer des torseurs

Dans tout ce texte, sauf mention explicite du contraire, on entend par “catégorie dérivée” la catégorie dérivée associée à la catégorie des complexes bornés de modules galoisiens sur k. Dans tout le texte, étant donné un schéma X, on considère toujours le site étale sur X, les faisceaux considérés sont des faisceaux étales sur X et la cohomologie considérée est la cohomologie étale de X.

1.1. Un complexe associé à un morphisme.

On construit ici un complexe de modules galoisiens, de longueur 3, associé à un morphisme de k-variétés algébriques $\pi : Y \to X$. Ce complexe est crucial en vue du calcul du groupe de Brauer dans la section 2.

Soit $\pi : Y \to X$ un morphisme de k-variétés algébriques lisses et géométriquement intègres. On considère la suite exacte habituelle de faisceaux (étales) sur Y (voir [Gro68], II.1, suite exacte (2)) :

$$0 \to \mathbf{G}_{mY} \to \mathscr{K}_Y^* \to \mathscr{D}iv_Y \to 0 \,. \tag{1}$$

On applique le foncteur π_* à cette suite exacte. On obtient la suite exacte suivante :

$$0 \to \pi_*\mathbf{G}_{mY} \to \pi_*\mathscr{K}_Y^* \to \pi_*\mathscr{D}iv_Y \to R^1\pi_*\mathbf{G}_{mY} \to R^1\pi_*\mathscr{K}_Y^* \,.$$

Or le théorème de Hilbert 90 assure que $R^1\pi_*\mathscr{K}_Y^* = 0$ (voir [Gro68], II, lemme 1.6), et donc on a une suite exacte

$$0 \to \pi_*\mathbf{G}_{mY} \to \pi_*\mathscr{K}_Y^* \to \pi_*\mathscr{D}iv_Y \to R^1\pi_*\mathbf{G}_{mY} \to 0 \,. \tag{2}$$

Notons $\mathscr{Q}$ le conoyau du morphisme $\pi_* \mathbf{G}_{mY} \to \pi_* \mathscr{K}_Y^*$, et appliquons le foncteur p_{X*} à cette suite exacte (où $p_X : X \to \mathrm{Spec}(k)$ est le morphisme structural de X). On obtient les suites exactes suivantes (en notant que $p_Y = p_X \circ \pi$) :

$$0 \to p_{Y*}\mathbf{G}_{mY} \to p_{Y*}\mathscr{K}_Y^* \to p_{X*}\mathscr{Q} \to R^1 p_{X*}\pi_*\mathbf{G}_{mY} \to R^1 p_{X*}\pi_*\mathscr{K}_Y^*$$

$$R^1 p_{X*}\pi_*\mathscr{K}_Y^* \to R^1 p_{X*}\mathscr{Q} \to R^2 p_{X*}\pi_*\mathbf{G}_{mY} \to R^2 p_{X*}\pi_*\mathscr{K}_Y^*$$

$$0 \to p_{X*}\mathscr{Q} \to p_{Y*}\mathscr{D}iv_Y \to p_{X*}R^1\pi_*\mathbf{G}_{mY} \to R^1 p_{X*}\mathscr{Q} \, .$$

Or le faisceau $R^1 p_{X*}\pi_*\mathscr{K}_Y^*$ est nul car il s'injecte dans $R^1 p_{Y*}\mathscr{K}_Y^* = 0$ par un argument de suite spectrale, donc les suites précédentes se réécrivent ainsi :

$$0 \to \overline{k}[Y]^* \to \overline{k}(Y)^* \to p_{X*}\mathscr{Q} \to R^1 p_{X*}\pi_*\mathbf{G}_{mY} \to 0 \tag{3}$$

$$0 \to R^1 p_{X*}\mathscr{Q} \to R^2 p_{X*}\pi_*\mathbf{G}_{mY} \to R^2 p_{X*}\pi_*\mathscr{K}_Y^* \tag{4}$$

$$0 \to p_{X*}\mathscr{Q} \to \mathrm{Div}(\overline{Y}) \to p_{X*}R^1\pi_*\mathbf{G}_{mY} \to R^1 p_{X*}\mathscr{Q} \, . \tag{5}$$

Ces suites exactes permettent de définir le complexe suivant (où $\overline{k}(Y)^*/\overline{k}^*$ est en degré 0)

$$\mathrm{UPic}(\pi : Y \to X) := [\overline{k}(Y)^*/\overline{k}^* \xrightarrow{\Delta} \mathrm{Div}(\overline{Y}) \xrightarrow{\partial} H^0(\overline{X}, R^1\pi_*\mathbf{G}_{mY})] \, ,$$

où le morphisme Δ est le morphisme $f \mapsto \mathrm{div}(f)$, égal à la composée des morphismes suivants apparaissant dans les suites exactes (3) et (5) : $\overline{k}(Y)^* \to p_{X*}\mathscr{Q} \to \mathrm{Div}(\overline{Y})$, et le morphisme ∂ apparait dans la suite exacte (5). Notons enfin que le groupe $H^0(\overline{X}, R^1\pi_*\mathbf{G}_{mY})$ est appelé le groupe de Picard relatif de $\overline{Y}$ sur $\overline{X}$, noté $\mathrm{Pic}'(\overline{Y}/\overline{X})$ (voir [BLR90], chapitre 8 : le groupe $\mathrm{Pic}'(\overline{Y}/\overline{X})$ est le groupe des sections globales sur $\overline{X}$ du foncteur de Picard relatif $\mathrm{Pic}_{\overline{Y}/\overline{X}}$).

Le lemme suivant est alors évident (on rappelle que $\mathrm{UPic}(\overline{Y})$ est représenté par $[\overline{k}(Y)^*/\overline{k} \to \mathrm{Div}(\overline{Y})]$: voir [BvH09], corollaire 2.5) :

Lemme 1.1. *On a un triangle exact canonique dans la catégorie dérivée des modules galoisiens :*

$$\mathrm{Pic}'(\overline{Y}/\overline{X})[-2] \to \mathrm{UPic}(\pi : Y \to X) \to \mathrm{UPic}(\overline{Y}) \to \mathrm{Pic}'(\overline{Y}/\overline{X})[-1] \, .$$

1.2. **Application au cas des torseurs.** Par convention, et sauf mention explicite du contraire, les torseurs considérés sont des *torseurs à droite*.

Soit k un corps de caractéristique nulle, X une k-variété lisse et géométriquement intègre. Soit $\overline{H}$ un $\overline{k}$-groupe algébrique linéaire connexe et $\overline{\pi} : \overline{Y} \xrightarrow{\overline{H}} \overline{X}$ un $\overline{X}$-torseur sous $\overline{H}$.

On rappelle ici la définition d'une donnée de recollement sur un tel torseur (voir par exemple [HS02], définition 2.1, où cette notion est appelée "donnée de descente"). On renvoie à [HS02] pour les notations :

Définition 1.2. *Une donnée de recollement sur $\overline{Y}/X$ est la donnée d'un sous-groupe topologique E de $\mathrm{SAut}(\overline{Y}/X)$ s'intégrant dans un diagramme commutatif exact de groupes topologiques*

$$\begin{array}{ccccccccc}
1 & \longrightarrow & \overline{H}(\overline{k}) & \longrightarrow & E & \longrightarrow & \Gamma_k & \longrightarrow & 1 \\
 & & \downarrow{\scriptstyle i} & & \downarrow & & \downarrow & & \\
1 & \longrightarrow & \mathrm{Aut}(\overline{Y}/\overline{X}) & \longrightarrow & \mathrm{SAut}(\overline{Y}/X) & \longrightarrow & \Gamma_k & &
\end{array}$$

où la ligne supérieure est localement scindée et le morphisme i est le morphisme naturel.

À partir de maintenant, *on suppose que* $\overline{Y}/X$ *est muni d'une donnée de recollement.*

Dans cette section, on associe à la donnée du torseur $\overline{Y}/X$, muni de sa donnée de recollement, un complexe de modules galoisiens noté $C_{\overline{Y}/X}$, que l'on relie à un complexe de la forme $\mathrm{UPic}(\pi : Z \to X)$, où Z/X est un torseur (défini sur k) associé à $\overline{Y}/X$.

Notons $\overline{H}^{\mathrm{u}}$ le radical unipotent de $\overline{H}$, et $\overline{H}^{\mathrm{red}} := \overline{H}/\overline{H}^{\mathrm{u}}$. Définissons le groupe $\overline{H'} := \overline{H}^{\mathrm{red}}/Z_{\overline{H}^{\mathrm{red}}}$ et les quotients $\overline{Z'} := \overline{Y}/\overline{H}^{\mathrm{u}}$ et $\overline{Z} := \overline{Z'}/Z_{\overline{H}^{\mathrm{red}}}$, de sorte que l'on ait un diagramme commutatif de torseurs sur $\overline{X}$:

$$\begin{array}{ccccc} \overline{Y} & \xrightarrow{\overline{H}^{\mathrm{u}}} & \overline{Z'} & & \\ & \overline{H}\searrow & \downarrow{\scriptstyle \overline{H}^{\mathrm{red}}} & \searrow{\scriptstyle Z_{\overline{H}^{\mathrm{red}}}} & \\ & & & & \overline{Z} \\ & & \overline{X} & \swarrow{\scriptstyle \overline{H'}} & \end{array} .$$

Remarquons au passage que les quotients $\overline{Z'}$ et $\overline{Z}$ sont représentables par des $\overline{k}$-variétés (voir par exemple [Mil80], théorème III.4.3.(a)).

Suivant [HS02], proposition 2.2, on peut associer à une telle donnée de recollement un k-lien $L_{\overline{Y}/X}$ sur le groupe $\overline{H}$, ainsi qu'une classe $\eta_{\overline{Y}/X} \in H^2(k, L_{\overline{Y}/X})$, qui est l'obstruction à descendre le torseur $\overline{Y} \to \overline{X}$ en un torseur sur X : cette classe est neutre si et seulement si le torseur $\overline{Y}/\overline{X}$ descend sur X.

Le sous-groupe $\overline{H}^{\mathrm{u}}$ de $\overline{H}$ est invariant par les semi-automorphismes de $\overline{H}$, donc le lien $L_{\overline{Y}/X}$ induit un lien $L_{\overline{Z'}/X}$ sur $\overline{H}^{\mathrm{red}}$. De même, $L_{\overline{Z'}/X}$ induit un lien $L_{\overline{Z}/X}$ sur $\overline{H'}$. Or $\overline{H'}$ est réductif et de centre trivial, donc par la proposition 1.1 de [Dou06] ou la proposition 3.1 de [Bor93], l'ensemble $H^2(k, L_{\overline{Z}/X})$ est réduit à un seul élément, qui est une classe neutre. Donc l'image $\eta'_{\overline{Y}/X} \in H^2(k, L_{\overline{Z}/X})$ de la classe $\eta_{\overline{Y}/X} \in H^2(k, L_{\overline{Y}/X})$ est neutre.

Or par fonctorialité, la classe $\eta'_{\overline{Y}/X}$ coïncide avec la classe associée à la donnée de recollement induite sur $\overline{Z} \to \overline{X}$. Par conséquent, puisque $\eta'_{\overline{Y}/X}$ est neutre, il existe une k-forme H' de $\overline{H'}$ et un torseur $p : Z \xrightarrow{H'} X$ qui devient isomorphe à $\overline{p} : \overline{Z} \xrightarrow{\overline{H'}} \overline{X}$ quand on étend les scalaires à $\overline{k}$.

Grâce au lemme 5.2.(ii) de [BvH09], on dispose d'un morphisme canonique $\varphi : \mathrm{UPic}(\overline{Z}) \to \mathrm{UPic}(\overline{H'})$. Ce morphisme est représentable par le morphisme de complexes horizontaux :

$$\begin{array}{ccc} \overline{k}(Z)^*/\overline{k}^* & \longrightarrow & \mathrm{Div}(\overline{Z}) \\ \downarrow & & \downarrow{\scriptstyle \varphi'} \\ 0 & \longrightarrow & \mathrm{Pic}(\overline{H'}) \end{array} ,$$

via le quasi-isomorphisme canonique $\mathrm{UPic}(\overline{H'}) \to \mathrm{Pic}(\overline{H'})[-1]$, où φ' est la composée

$$\mathrm{Div}(\overline{Z}) \to \mathrm{Pic}(\overline{Z}) \xrightarrow{\varphi} \mathrm{Pic}(\overline{H'}) .$$

Définissons l'objet $C_{\overline{Y}/X}$ comme le complexe de modules galoisiens

$$C_{\overline{Y}/X} := [\overline{k}(Z)^*/\overline{k}^* \to \mathrm{Div}(\overline{Z}) \xrightarrow{\varphi'} \mathrm{Pic}(\overline{H'})] ,$$

où $\overline{k}(Z)^*/\overline{k}^*$ est en degré 0 et $\mathrm{Pic}(\overline{H'})$ en degré 2. Par construction, $C_{\overline{Y}/X}[1]$ est un cône du morphisme $\varphi : \mathrm{UPic}(\overline{Z}) \to \mathrm{UPic}(\overline{H'})$ dans la catégorie dérivée : on a un triangle exact

$$C_{\overline{Y}/X} \to \mathrm{UPic}(\overline{Z}) \to \mathrm{UPic}(\overline{H'}) \to C_{\overline{Y}/X}[1] \, .$$

On souhaite maintenant définir un morphisme naturel $C_{\overline{Y}/X} \to \mathrm{UPic}(\pi : Z \to X)$.

1.2.1. *Construction générale.* Soit $f : V \xrightarrow{G} X$ un X-torseur sous un k-groupe linéaire connexe G. Construisons un morphisme canonique

$$s_{V/X} : \mathrm{Pic}(G) \to \mathrm{Pic}'(V/X) \, .$$

Soit une classe $p \in \mathrm{Pic}(G)$ représentée par un torseur $f : P \to G$ sous $\mathbf{G}_m$. Par définition, on a un isomorphisme naturel de la forme $\phi : V \times G \to V \times_X V$. On définit alors W comme le tiré en arrière du torseur $f_V : V \times P \to V \times G$ sous $\mathbf{G}_m$ (déduit de $P \to G$ par changement de base par la projection $V \times G \to G$) par le morphisme $\phi^{-1} : V \times_X V \to V \times G$. On obtient ainsi un torseur $W \to V \times_X V$ sous $\mathbf{G}_m$, qui définit bien une classe dans $\mathrm{Pic}'(V/X)$ (voir [BLR90] p.202 pour une description explicite des éléments de $\mathrm{Pic}'(V/X)$). On note alors par définition $s_{V/X}(p)$ la classe de $W \to V \times_X V$ dans $\mathrm{Pic}'(V/X)$, et on vérifie que cette classe ne dépend pas du représentant P de p choisi.

Le morphisme $s_{V/X}$ induit ainsi un diagramme canonique

$$\begin{array}{ccc} \mathrm{Pic}(V) & \xrightarrow{\varphi} & \mathrm{Pic}(G) \\ \Big\downarrow{=} & & \Big\downarrow{s_{V/X}} \\ \mathrm{Pic}(V) & \xrightarrow{\partial} & \mathrm{Pic}'(V/X) \, . \end{array} \tag{6}$$

Lemme 1.3. *Le diagramme (6) est commutatif.*

Démonstration. On commence par rappeler la définition de φ. Si $m : V \times G \to V$ désigne l'action de G, alors φ est la composée des morphismes suivants :

$$\mathrm{Pic}(V) \xrightarrow{m^*} \mathrm{Pic}(V \times G) \xleftarrow{\cong} \mathrm{Pic}(V) \oplus \mathrm{Pic}(G) \to \mathrm{Pic}(G) \, ,$$

(voir [San81], lemme 6.6 pour l'isomorphisme central). Soit $f : Z \to V$ un torseur sous $\mathbf{G}_m$ de classe $p \in \mathrm{Pic}(V)$. Par définition de φ, il existe un torseur $W \to G$ sous $\mathbf{G}_m$ (de classe $[W] = \varphi(p)$ dans $\mathrm{Pic}(G)$) et un isomorphisme de $V \times G$-torseurs sous $\mathbf{G}_m$ entre $Z' := m^* Z$ et le quotient de $Z \times W$ par l'action diagonale de $\mathbf{G}_m$. Par conséquent, $s_{V/X}(\varphi(p)) \in \mathrm{Pic}'(V/X)$ est représenté par le torseur $U \xrightarrow{\mathbf{G}_m} V \times_X V$ déduit de $V \times W \to V \times G$ via l'isomorphisme $V \times G \cong V \times_X V$. Quant à la classe $\partial(p)$, elle est représentée par le torseur $Z \xrightarrow{\mathbf{G}_m} V$.

On cherche donc à montrer que les classes des torseurs $Z \xrightarrow{\mathbf{G}_m} V$ et $U \xrightarrow{\mathbf{G}_m} V \times_X V$ coïncident dans $\mathrm{Pic}'(V/X)$. Pour cela, il suffit de montrer que dans les diagrammes de carrés cartésiens suivants :

$$\begin{array}{ccccc} Z'' & \longrightarrow & Z' & \longrightarrow & Z \\ \downarrow & & \downarrow & & \downarrow \\ Z \times_X V & \longrightarrow & V \times_X V & \longrightarrow & V \\ \downarrow & & \downarrow & & \downarrow \\ Z & \longrightarrow & V & \longrightarrow & X \end{array} \qquad \begin{array}{ccccc} U' & \longrightarrow & U & & \\ \downarrow & & \downarrow & & \\ Z \times_X V & \longrightarrow & V \times_X V & \longrightarrow & V \\ \downarrow & & \downarrow & & \downarrow \\ Z & \longrightarrow & V & \longrightarrow & X \end{array}$$

les $Z \times_X V$-torseurs Z'' et U' sont isomorphes. Il suffit donc de montrer que $[Z''] = [U'] \in \mathrm{Pic}(Z \times_X V)$. Pour cela, considérons le diagramme commutatif suivant :

$$\begin{array}{ccccc}
\mathrm{Pic}(V \times_X V) & \xrightarrow{\cong} & \mathrm{Pic}(V \times G) & \xleftarrow{\cong} & \mathrm{Pic}(V) \oplus \mathrm{Pic}(G) \\
\downarrow & & \downarrow & & \downarrow \qquad \downarrow = \\
\mathrm{Pic}(Z \times_X V) & \xrightarrow{\cong} & \mathrm{Pic}(Z \times G) & \xleftarrow{\cong} & \mathrm{Pic}(Z) \oplus \mathrm{Pic}(G)\,.
\end{array}$$

Par construction, la classe $[Z'] \in \mathrm{Pic}(V \times G)$ correspond au couple $([Z], [W]) \in \mathrm{Pic}(V) \oplus \mathrm{Pic}(G)$. Donc, par fonctorialité, son image $[Z'']$ dans $\mathrm{Pic}(Z \times G)$ correspond au couple $(0, [W]) \in \mathrm{Pic}(Z) \oplus \mathrm{Pic}(G)$ (on rappelle que le tiré en arrière du torseur $Z \to V$ par lui-même est trivial comme Z-torseur).

La classe $[U] \in \mathrm{Pic}(V \times_X V)$ correspond par construction à la classe $[V \times W] \in \mathrm{Pic}(V \times G)$, qui elle-même correspond au couple $(0, [W]) \in \mathrm{Pic}(V) \oplus \mathrm{Pic}(G)$. On en déduit donc que la classe $[U'] \in \mathrm{Pic}(Z \times_X V)$ correspond au couple $(0, [W]) \in \mathrm{Pic}(Z) \oplus \mathrm{Pic}(G)$.

Par conséquent, on a montré que $[Z''] = [U'] \in \mathrm{Pic}(Z \times_X V)$, i.e. $s_{V/X}(\varphi(p)) = \partial(p)$. □

On déduit immédiatemment du lemme 1.3 la construction suivante :

Lemme 1.4. *Soit $f : V \xrightarrow{G} X$ un torseur sous un groupe linéaire connexe G tel que $G^{\mathrm{tor}} = 0$. Alors le morphisme $s_{\overline{V}/\overline{X}} : \mathrm{Pic}(\overline{G}) \to \mathrm{Pic}'(\overline{V}/\overline{X})$ induit un morphisme naturel :*

$$C_{\overline{V}/X} \to \mathrm{UPic}(f : V \to X)\,.$$

Proposition 1.5. *Soit $f : V \xrightarrow{G} X$ un torseur sous un groupe linéaire connexe G. Supposons que $G^{\mathrm{tor}} = 0$ (i.e. $\widehat{G} = 0$). Alors le morphisme naturel*

$$\mathbf{G}_{mX} \xrightarrow{\cong} f_* \mathbf{G}_{mV}$$

est un isomorphisme, et le morphisme canonique

$$C_{\overline{V}/X} \to \mathrm{UPic}(f : V \to X)$$

est un quasi-isomorphisme.

Démonstration. Pour le premier point, il suffit d'étendre la proposition 14.2 de [CTS87] (lemme de Rosenlicht global) aux torseurs sous des groupes connexes quelconques :

Proposition 1.6. *Soit X un schéma réduit et G/X un schéma en groupes plat localement de présentation finie, à fibres maximales lisses connexes. Soit $f : V \xrightarrow{G} X$ un torseur sous G. On a alors une suite exacte de faisceaux étales sur X :*

$$1 \to \mathbf{G}_{mX} \to f_* \mathbf{G}_{mV} \to \widehat{G} \to 1$$

où $\widehat{G} := \mathscr{H}om_{X\text{-gr}}(G, \mathbf{G}_{mX})$.

Démonstration. La preuve est exactement similaire à celle la proposition 1.4.2 de [CTS87], en utilisant le corollaire VII.1.2 de [Ray70]. □

On déduit immédiatement de cette proposition le premier point de la proposition 1.5.

Montrons le second point : il suffit de montrer que le morphisme naturel $s_{\overline{V}/\overline{X}}$: $\mathrm{Pic}(\overline{G}) \to \mathrm{Pic}'(\overline{V}/\overline{X})$ est un isomorphisme. On commence par le résultat suivant :

Proposition 1.7. *Soit k un corps de caractéristique nulle, X une k-variété lisse géométriquement intègre. Soit $f : V \to X$ un torseur sous un k-groupe linéaire connexe G. On a alors un diagramme commutatif naturel de suites exactes :*

$$\begin{array}{ccccccccccc}
k[G]^*/k^* & \xrightarrow{\Delta'_{V/X}} & \mathrm{Pic}(X) & \xrightarrow{f^*} & \mathrm{Pic}(V) & \xrightarrow{\varphi_1} & \mathrm{Pic}(G) & \xrightarrow{\Delta_{V/X}} & \mathrm{Br}(X) & \xrightarrow{f^*} & \mathrm{Br}(V) \\
\downarrow & & \downarrow{\scriptstyle t_{V/X}} & & \downarrow{\scriptstyle =} & & \downarrow{\scriptstyle s_{V/X}} & & \downarrow{\scriptstyle r_{V/X}} & & \downarrow{\scriptstyle =} \\
0 & \longrightarrow & H^1(X, f_* \mathbf{G}_{mV}) & \xrightarrow{\varphi} & \mathrm{Pic}(V) & \xrightarrow{\gamma} & \mathrm{Pic}'(V/X) & \xrightarrow{\delta_{V/X}} & H^2(X, f_* \mathbf{G}_{mV}) & \xrightarrow{\beta} & \mathrm{Br}(V) ,
\end{array}$$

où la suite supérieure provient de [BD10]*, théorème 2.8, et la suite inférieure est la suite associée à la suite spectrale de Leray $E_2^{p,q} := H^p(X, R^q f_* \mathbf{G}_{mV}) \Rightarrow H^{p+q}(V, \mathbf{G}_{mV})$.*

Démonstration. Les morphismes $t_{V/X}$ et $r_{V/X}$ sont induits par le morphisme canonique $\mathbf{G}_{mX} \to f_* \mathbf{G}_{mV}$, et le morphisme $s_{V/X}$ est défini au début de la section 1.2.1.

Montrons la commutativité du diagramme ainsi construit.

- Commutativité du premier carré : il suffit de montrer que la composée
$$k[G]^*/k^* \xrightarrow{\Delta'_{V/X}} \mathrm{Pic}(X) \xrightarrow{t_{V/X}} H^1(X, f_* \mathbf{G}_{mV})$$
est le morphisme nul. Ceci est une conséquence de la commutativité du deuxième carré et de l'exactitude de la ligne inférieure du diagramme
- Commutativité du deuxième carré : c'est un calcul classique : voir par exemple [Gir71], proposition 3.1.3 et 3.1.4.1.
- Commutativité du troisième carré : c'est le lemme 1.3.
- Commutativité du quatrième carré : c'est une conséquence de la proposition V.3.2.9 de [Gir71] et de sa preuve, en utilisant la définition de $\Delta_{V/X}$ (voir [CTX09] section 2 p.314 ou [BD10] 2.5).
- Commutativité du dernier carré : la preuve est similaire à celle du deuxième carré.

□

On déduit de cette proposition, grâce au lemme des cinq, le corollaire suivant :

Corollaire 1.8. *Sous les hypothèses de la proposition 1.7, si on suppose de plus que $\widehat{G}(k) = k[G]^*/k^*$ est trivial (i.e. $G^{\mathrm{tor}} = 0$), alors $f_* \mathbf{G}_{mV} = \mathbf{G}_{mX}$ et le diagramme de la proposition 1.7 devient :*

$$\begin{array}{ccccccccccc}
0 & \longrightarrow & \mathrm{Pic}(X) & \xrightarrow{f^*} & \mathrm{Pic}(V) & \xrightarrow{\varphi_1} & \mathrm{Pic}(G) & \xrightarrow{\Delta_{V/X}} & \mathrm{Br}(X) & \xrightarrow{f^*} & \mathrm{Br}(V) \\
 & & \cong \downarrow{\scriptstyle t_{V/X}} & & \downarrow{\scriptstyle =} & & \cong \downarrow{\scriptstyle s_{V/X}} & & \cong \downarrow{\scriptstyle r_{V/X}} & & \downarrow{\scriptstyle =} \\
0 & \longrightarrow & H^1(X, f_* \mathbf{G}_{mV}) & \xrightarrow{\varphi} & \mathrm{Pic}(V) & \xrightarrow{\gamma} & \mathrm{Pic}'(V/X) & \xrightarrow{\delta_{V/X}} & H^2(X, f_* \mathbf{G}_{mV}) & \xrightarrow{\beta} & \mathrm{Br}(V) .
\end{array}$$

Revenons à la preuve de la proposition 1.5 : le corollaire 1.8 assure que le morphisme $s_{\overline{V}/\overline{X}} : \mathrm{Pic}(\overline{G}) \to \mathrm{Pic}'(\overline{V}/\overline{X})$ est un isomorphisme, ce qui conclut la preuve. □

1.2.2. *Application au cas d'un torseur avec donnée de recollement.* Revenons à la situation et aux notations introduites au début de la section 1.2.

On applique la proposition 1.5 au torseur $p : Z \xrightarrow{H'} X$. Les hypothèses de cette proposition sont vérifiées, puisque ${H'}^{\mathrm{tor}} = 0$. Par conséquent, on a l'énoncé suivant :

Proposition 1.9. *Soit $\overline{Y}/X$ un torseur sous $\overline{H}$ linéaire connexe, muni d'une donnée de recollement. On conserve les notations de la section 1.2. Alors on a un quasi-isomorphisme*

$$C_{\overline{Y}/X} = C_{\overline{Z}/X} \to \mathrm{UPic}(p : Z \to X) ,$$

et un isomorphisme

$$\mathbf{G}_{mX} \cong p_* \mathbf{G}_{mZ} \, .$$

2. Groupe de Brauer d'un torseur avec donnée de recollement

Dans cette section, le cadre est le même que dans la précédente : k est un corps de caractéristique nulle, X est une k-variété lisse géométriquement intègre, et $\overline{H}$ est un $\overline{k}$-groupe algébrique. Soit $\overline{\pi} : \overline{Y} \xrightarrow{\overline{H}} \overline{X}$ un $\overline{X}$-torseur sous $\overline{H}$ muni d'une donnée de recollement. On définit le groupe

$$\mathrm{Br}_1(X, \overline{Y}) := \mathrm{Ker}(\mathrm{Br}(X) \to \mathrm{Br}(\overline{X}) \xrightarrow{\overline{\pi}^*} \mathrm{Br}(\overline{Y}))$$

comme dans [BD10], et $\mathrm{Br}_a(X, \overline{Y}) := \mathrm{Br}_1(X, \overline{Y})/\mathrm{Br}(k)$. On l'appelle groupe de Brauer algébrique du "torseur" $\overline{Y}/X$. Le résultat principal de cette section est le suivant :

Théorème 2.1. *Avec les notations précédentes, on dispose d'un isomorphisme canonique, fonctoriel en $(X, \overline{Y}, \overline{H}, \overline{\pi})$:*

$$U(X) \xrightarrow{\cong} \mathbf{H}^0(k, C_{\overline{Y}/X}) \, ,$$

et d'une suite exacte de groupes commutatifs, fonctorielle en $(X, \overline{Y}, \overline{H}, \overline{\pi})$:

$$0 \to \mathrm{Pic}(X) \to \mathbf{H}^1(k, C_{\overline{Y}/X}) \to \mathrm{Br}(k) \to \mathrm{Br}_1(X, \overline{Y}) \to \mathbf{H}^2(k, C_{\overline{Y}/X}) \to N^3(k, \mathbf{G}_m) \, ,$$

où $N^3(k, \mathbf{G}_m) := \mathrm{Ker}(H^3(k, \mathbf{G}_m) \to H^3(X, \mathbf{G}_m))$.

Avant de commencer la preuve, rappelons la suite exacte (2) dans le contexte du morphisme $p : Z \to X$ induit par la donnée de recollement :

$$0 \to \mathbf{G}_{mX} \to p_* \mathscr{K}_Z^* \to p_* \mathscr{D}iv_Z \to R^1 p_* \mathbf{G}_{mZ} \to 0 \, , \qquad (7)$$

et définissons le morphisme $\partial_2 : p_{X*} R^1 p_* \mathbf{G}_{mZ} \to R^2 p_{X*} \mathbf{G}_{mX}$ comme le cobord itéré associé au foncteur p_{X*} et à cette suite exacte (rappelons que la proposition 1.5 permet d'identifier $\mathbf{G}_{mX} = p_* \mathbf{G}_{mZ}$).

Démonstration. Définissons $\mathrm{UPic}'(p : Z \to X) := [\overline{k}(Z)^* \to \mathrm{Div}(\overline{Z}) \xrightarrow{\varphi'} \mathrm{Pic}'(\overline{Z}/\overline{X})]$.

Proposition 2.2. *Il existe un triangle exact naturel*

$$\mathrm{UPic}'(p) \to \tau_{\leq 2} \mathbf{R} p_{X*} \mathbf{G}_{mX} \to \left(R^2 p_{X*} \mathbf{G}_{mX} / \partial_2 (p_{X*} R^1 p_* \mathbf{G}_{mZ})\right) [-2] \to \mathrm{UPic}'(p)[1] \, ,$$

et une suite exacte canonique

$$0 \to \partial_2 (p_{X*} R^1 p_* \mathbf{G}_{mZ}) \to R^2 p_{X*} \mathbf{G}_{mX} \to R^2 p_{Z*} \mathbf{G}_{mZ} \, .$$

Démonstration. On montre en fait le résultat plus général suivant :

Lemme 2.3. *Soient $\mathscr{A}$, $\mathscr{B}$ deux catégories abéliennes, et $F : \mathscr{A} \to \mathscr{B}$ un foncteur exact à gauche. Soit*

$$0 \to A \to B_0 \to B_1 \to \cdots \to B_n \to 0 \qquad (8)$$

une suite exacte dans $\mathscr{A}$. On suppose que $\mathscr{A}$ a suffisamment d'injectifs et que $(R^i F) B_k = 0$ pour tout $0 \leq k \leq n-2$ et tout $1 \leq i \leq n-1-k$. Alors on a un triangle exact canonique (dans la catégorie dérivée associée à la catégorie des complexes bornés de $\mathscr{A}$) :

$$R^0 F [B_0 \to \cdots \to B_n] \to \tau_{\leq n} (\mathbf{R} F) A \to ((R^n F) A / \partial_n (B_n)) [-n] \to R^0 F [B_0 \to \cdots \to B_n][1] \, ,$$

où $\partial_n : B_n \to (R^n F) A$ est le cobord itéré associé à la suite exacte (8). Supposons en outre que $(R^{n-1} F) B_1 = (R^{n-2} F) B_2 = \cdots = (R^1 F) B_{n-1} = 0$, alors on a une suite exacte canonique

$$0 \to \partial_n (B_n) \to (R^n F) A \to (R^n F) B_0 \, .$$

Démonstration. On note $B_\bullet$ le complexe

$$B_\bullet := [B_0 \to B_1 \to \dots \to B_n] \,.$$

Soit $B_\bullet \xrightarrow{\epsilon_\bullet} I_{\bullet,\bullet}$ une résolution injective de Cartan-Eilenberg de $B_\bullet$ (voir [Wei94], 5.7.9). Considérons le complexe total $\mathrm{Tot}(F(I_{\bullet,\bullet}))$ associé au complexe double $F(I_{\bullet,\bullet})$. On a un morphisme injectif naturel de complexes de longueur $n+1$

$$F(\epsilon_\bullet) : F(B_\bullet) \to \tau_{\leq n}\mathrm{Tot}(F(I_{\bullet,\bullet})) \,.$$

Montrons que son conoyau $Q_\bullet$ est quasi-isomorphe à $(\mathscr{H}^n(\mathrm{Tot}(F(I_{\bullet,\bullet})))/\epsilon_n(B_n))\,[-n]$. Par définition, pour tout $0 \leq k \leq n-1$, on a

$$Q_k = F(I_{0,k}) \oplus \dots \oplus F(I_{k-1,1}) \oplus (F(I_{k,0})/\epsilon_k(F(B_k))) \ .$$

Fixons $0 \leq k \leq n-1$. Puisque $(R^kF)B_0 = (R^{k-1}F)B_1 = \dots = (R^1F)B_{k-1} = 0$, une chasse au diagramme simple dans $F(I_{\bullet,\bullet})$ assure que $Q_\bullet$ est exact en degré k. Par conséquent, on a un quasi-isomorphisme canonique

$$Q_\bullet \to \mathscr{H}^n(Q_\bullet)[-n] = (Q_n/Q_{n-1})\,[-n] \,.$$

Or Q_n est le quotient du noyau de

$$F(I_{0,n}) \oplus \dots \oplus F(I_{n,0}) \to F(I_{0,n+1}) \oplus \dots \oplus F(I_{n+1,0})$$

par $\epsilon_n(B_n) \subset F(I_{n,0})$, donc

$$Q_n/Q_{n-1} = \mathscr{H}^n(\mathrm{Tot}(F(I_{\bullet,\bullet})))/\epsilon_n(B_n) \,.$$

Finalement, la suite exacte de complexes

$$0 \to F(B_\bullet) \xrightarrow{\epsilon_\bullet} \tau_{\leq n}\mathrm{Tot}(F(I_{\bullet,\bullet})) \to Q_\bullet \to 0$$

induit un triangle exact canonique (qui ne dépend pas de la résolution $I_{\bullet,\bullet}$ choisie) dans la catégorie dérivée

$$F(B_\bullet) \to \tau_{\leq n}(\mathbf{R}F)B_\bullet \to ((R^nF)B_\bullet/\epsilon_n(B_n))\,[-n] \to F(B_\bullet)[1] \,. \tag{9}$$

Enfin la suite exacte (8) induit un isomorphisme naturel dans la catégorie dérivée

$$A \cong B_\bullet$$

qui permet d'identifier le triangle exact (9) au triangle exact du lemme (après avoir identifié $\epsilon_n(B_n) \subset (R^nF)B_\bullet$ avec $\partial_n(B_n) \subset (R^nF)A$, en s'inspirant de [CE56], proposition 7.1).

Enfin, la dernière partie du lemme est évidente en décomposant la suite (8) en suites exactes courtes successives et écrivant les suites exactes longues associées. □

Appliquons le lemme 2.3 à la situation considérée dans la proposition 2.2 et à la suite exacte (7) dans la catégorie $\mathscr{A}$ des faisceaux abéliens fppf sur X, $\mathscr{B}$ étant la catégorie des faisceaux abéliens fppf sur $\mathrm{Spec}(k)$ et le foncteur F étant l'image directe $(p_X)_*$ par le morphisme structural $p_X : X \to \mathrm{Spec}(k)$. Il faut vérifier les hypothèses suivantes pour appliquer le lemme : $(R^1p_{X*})p_*\mathscr{K}_Z^* = 0$ et $(R^1p_{X*})p_*\mathscr{D}iv_Z = 0$. La première annulation est une conséquence de Hilbert 90, puisque $(R^1p_{X*})p_*\mathscr{K}_Z^*$ s'injecte dans $(R^1p_{Z*})\mathscr{K}_Z^*$, qui est nul par Hilbert 90 (voir [Gro68] II, lemme 1.6). La seconde annulation provient de l'injection naturelle $(R^1p_{X*})p_*\mathscr{D}iv_Z \to (R^1p_{Z*})\mathscr{D}iv_Z = 0$ (puisque Z est lisse, le faisceau $\mathscr{D}iv_Z$ s'identifie au faisceau des diviseurs de Weil : voir [Gro68] II).

Ainsi le lemme 2.3 fournit-il un triangle exact naturel dans la catégorie dérivée

$$R^0p_{X*}[p_*\mathscr{K}_Z^* \to p_*\mathscr{D}iv_Z \to R^1p_*\mathbf{G}_{mZ}] \to \tau_{\leq 2}\mathbf{R}p_{X*}\mathbf{G}_{mX} \to$$
$$\to \left(R^2p_{X*}\mathbf{G}_{mX}/\partial_2(p_{X*}R^1p_*\mathbf{G}_{mZ})\right)[-2] \to R^0p_{X*}[p_*\mathscr{K}_Z^* \to p_*\mathscr{D}iv_Z \to R^1p_*\mathbf{G}_{mZ}][1] \,,$$

et une suite exacte

(10) $$0 \to \partial_2(p_{X*}R^1p_*\mathbf{G}_{mZ}) \to R^2p_{X*}\mathbf{G}_{mX} \to R^2p_{X*}p_*\mathscr{K}_Z^* .$$

Or $R^0p_{X*}[p_*\mathscr{K}_Z^* \to p_*\mathscr{D}iv_Z \to R^1p_*\mathbf{G}_{mZ}] = \mathrm{UPic}'(p : Z \to X)$, donc le triangle exact devient

(11) $$\mathrm{UPic}'(p) \to \tau_{\leq 2}\mathbf{R}p_{X*}\mathbf{G}_{mX} \to \left(R^2p_{X*}\mathbf{G}_{mX}/\partial_2(p_{X*}R^1p_*\mathbf{G}_{mZ})\right)[-2] \to \mathrm{UPic}'(p)[1] .$$

On considère alors le diagramme commutatif naturel suivant :

$$\begin{array}{ccc} (R^2p_{X*})p_*\mathbf{G}_{mZ} & \longrightarrow & (R^2p_{X*})p_*\mathscr{K}_Z^* \\ \downarrow & & \downarrow \\ (R^2p_{Z*})\mathbf{G}_{mZ} & \longrightarrow & (R^2p_{Z*})\mathscr{K}_Z^* , \end{array}$$

où les flèches verticales proviennent des suites spectrales évidentes. La trivialité des faisceaux $(R^1p_{Z*})\mathscr{D}iv_Z$ et $p_{X*}(R^1p_*)\mathscr{K}_Z^*$ assure que le morphisme du bas et celui de droite sont injectifs, ce qui implique que l'on a une égalité

$$\mathrm{Ker}((R^2p_{X*})p_*\mathbf{G}_{mZ} \to (R^2p_{X*})p_*\mathscr{K}_Z^*) = \mathrm{Ker}((R^2p_{X*})p_*\mathbf{G}_{mZ} \to (R^2p_{Z*})\mathbf{G}_{mZ}) ,$$

donc la suite exacte (10) se réécrit

(12) $$0 \to \partial_2(p_{X*}R^1p_*\mathbf{G}_{mZ}) \to R^2p_{X*}\mathbf{G}_{mX} \to R^2p_{Z*}\mathbf{G}_{mZ} .$$

Finalement, le triangle (11) et la suite (12) terminent la preuve de la proposition 2.2. □

Poursuivons la preuve du théorème 2.1. On considère le triangle exact évident :

(13) $$\mathbf{G}_m \to \mathrm{UPic}'(p : Z \to X) \to \mathrm{UPic}(p : Z \to X) \to \mathbf{G}_m[1] .$$

La proposition 1.9 assure que l'on a un isomorphisme canonique dans la catégorie dérivée :

$$C_{\overline{Y}/X} \cong \mathrm{UPic}(p : Z \to X) .$$

Donc la suite exacte longue associée au triangle (13) fournit les suites exactes suivantes :

(14) $$0 \to H^0(k, \mathbf{G}_m) \to \mathbf{H}^0(k, \mathrm{UPic}'(p)) \to \mathbf{H}^0(k, C_{\overline{Y}/X}) \to H^1(k, \mathbf{G}_m) = 0$$

et

(15) $$\begin{aligned} 0 &\to \mathbf{H}^1(k, \mathrm{UPic}'(p)) \to \mathbf{H}^1(k, C_{\overline{Y}/X}) \to H^2(k, \mathbf{G}_m) \to \\ &\to \mathbf{H}^2(k, \mathrm{UPic}'(p)) \to \mathbf{H}^2(k, C_{\overline{Y}/X}) \to H^3(k, \mathbf{G}_m) \to \mathbf{H}^3(k, \mathrm{UPic}'(p)) . \end{aligned}$$

Or la proposition 2.2 assure que l'on a un triangle exact canonique :

(16) $$\mathrm{UPic}'(p) \to \tau_{\leq 2}\mathbf{R}p_{X*}\mathbf{G}_{mX} \to \left(R^2p_{X*}\mathbf{G}_{mX}/\partial_2(p_{X*}R^1p_*\mathbf{G}_{mZ})\right)[-2] \to \mathrm{UPic}'(p)[1] .$$

Ce triangle induit des isomorphismes canoniques :

$$\mathbf{H}^0(k, \mathrm{UPic}'(p)) = k[X]^* , \ \ \mathbf{H}^1(k, \mathrm{UPic}'(p)) = \mathrm{Pic}(X) ,$$

ainsi que l'isomorphisme suivant (en utilisant la seconde partie de la proposition 2.2) :

$$\mathbf{H}^2(k, \mathrm{UPic}'(p)) = \mathrm{Ker}(\mathrm{Br}(X) \xrightarrow{p^*} \mathrm{Br}(\overline{Z})) .$$

En combinant ces isomorphismes avec les suites exactes (14) et (15), on obtient le théorème 2.1, à ceci près qu'il reste à identifier le groupe $\mathrm{Ker}(\mathrm{Br}(X) \xrightarrow{p^*} \mathrm{Br}(\overline{Z}))$ au groupe $\mathrm{Br}_1(X, \overline{Y}) = \mathrm{Ker}(\mathrm{Br}(X) \to \mathrm{Br}(\overline{X}) \xrightarrow{\overline{\pi}^*} \mathrm{Br}(\overline{Y}))$, et à comparer le groupe $\mathrm{Ker}(H^3(k, \mathbf{G}_m) \to \mathbf{H}^3(k, \mathrm{UPic}'(p)))$ au groupe $\mathrm{Ker}(H^3(k, \mathbf{G}_m) \to H^3(X, \mathbf{G}_m))$.

On dispose d'abord du fait suivant :

Lemme 2.4. *Le morphisme* $\mathrm{Pic}(\overline{H'}) \to \mathrm{Pic}(\overline{H})$ *est surjectif.*

Démonstration. On note $\overline{H}^{\mathrm{red}}$ le quotient de $\overline{H}$ par son radical unipotent. Le morphisme $\mathrm{Pic}(\overline{H}^{\mathrm{red}}) \to \mathrm{Pic}(\overline{H})$ est surjectif car le groupe de Picard du radical unipotent est trivial. Le morphisme $\overline{H}^{\mathrm{red}} \to \overline{H}'$ est un morphisme surjectif, à noyau diagonalisable, entre groupes connexes, par conséquent la proposition 4.2 de [FI73] assure que le morphisme $\mathrm{Pic}(\overline{H}') \to \mathrm{Pic}(\overline{H}^{\mathrm{red}})$ est surjectif. D'où le lemme. □

Considérons le diagramme commutatif exact suivant :

$$\begin{array}{ccccc} & \swarrow & \mathrm{Pic}(\overline{H'}) & & \\ & & \downarrow{\scriptstyle \Delta_{\overline{Z}/\overline{X}}} & & \\ \mathrm{Pic}(\overline{H}) & \xrightarrow[\Delta_{\overline{Y}/\overline{X}}]{} & \mathrm{Br}(\overline{X}) & \xrightarrow{\pi^*} & \mathrm{Br}(\overline{Y}) \\ & & \downarrow{\scriptstyle p^*} & & \downarrow{\scriptstyle =} \\ & & \mathrm{Br}(\overline{Z}) & \xrightarrow{\pi'^*} & \mathrm{Br}(\overline{Y})\,. \end{array}$$

On déduit alors du lemme 2.4, par une chasse au diagramme facile, que l'inclusion naturelle

$$\mathrm{Ker}(\mathrm{Br}(X) \xrightarrow{p^*} \mathrm{Br}(\overline{Z})) \subset \mathrm{Br}_1(X, \overline{Y})$$

est en fait une égalité.

Pour conclure la preuve du théorème 2.1, montrons que l'on a un morphisme injectif

$$\mathrm{Ker}(H^3(k, \mathbf{G}_m) \to \mathbf{H}^3(k, \mathrm{UPic}'(p))) \hookrightarrow \mathrm{Ker}(H^3(k, \mathbf{G}_m) \to H^3(X, \mathbf{G}_m))\,.$$

Pour cela, on considère le carré commutatif suivant, où le morphisme horizontal inférieur est extrait du triangle exact (16) et les morphismes verticaux sont les morphismes évidents :

$$\begin{array}{ccc} \mathbf{G}_m & \xrightarrow{=} & \mathbf{G}_m \\ \downarrow & & \downarrow \\ \mathrm{UPic}'(p) & \longrightarrow & \tau_{\leq 2}\mathbf{R}p_{X*}\mathbf{G}_{mX}\,. \end{array}$$

Or $\mathbf{H}^3(k, \tau_{\leq 2}\mathbf{R}p_{X*}\mathbf{G}_{mX}) \cong \mathrm{Ker}(H^3(X, \mathbf{G}_m) \to H^3(\overline{X}, \mathbf{G}_m))$ (le calcul est le même que celui de [BvH09], 2.18), donc on déduit immédiatement de ce diagramme une inclusion

$$\mathrm{Ker}(H^3(k, \mathbf{G}_m) \to \mathbf{H}^3(k, \mathrm{UPic}'(p))) \subset \mathrm{Ker}(H^3(k, \mathbf{G}_m) \to H^3(X, \mathbf{G}_m))\,,$$

ce qui termine la preuve du théorème 2.1. □

Corollaire 2.5. *On conserve les hypothèses du théorème 2.1.*

- *Supposons que* $Z(k) \neq \emptyset$. *Alors on a trois isomorphismes canoniques*

  $$U(X) \cong \mathbf{H}^0(k, C_{\overline{Y}/X})\,, \quad \mathrm{Pic}(X) \cong \mathbf{H}^1(k, C_{\overline{Y}/X})\,, \quad \mathrm{Br}_a(X, Y) \cong \mathbf{H}^2(k, C_{\overline{Y}/X})\,.$$

- *Supposons que* $\mathrm{Br}(k)$ *s'injecte dans* $\mathrm{Br}(X)$. *Alors on a des isomorphismes*

  $$U(X) \cong \mathbf{H}^0(k, C_{\overline{Y}/X})\,, \quad \mathrm{Pic}(X) \cong \mathbf{H}^1(k, C_{\overline{Y}/X})\,,$$

  et une suite exacte

  $$0 \to \mathrm{Br}_a(X, \overline{Y}) \to \mathbf{H}^2(k, C_{\overline{Y}/X}) \to \mathrm{Ker}(H^3(k, \mathbf{G}_m) \to H^3(X, \mathbf{G}_m))\,.$$

- *Supposons que* $H^3(k, \mathbf{G}_m)$ *s'injecte dans* $H^3(X, \mathbf{G}_m)$. *Alors on a des isomorphismes*

$$U(X) \cong \mathbf{H}^0(k, C_{\overline{Y}/X}) \,, \;\; \mathrm{Br}_a(X, \overline{Y}) \cong \mathbf{H}^2(k, C_{\overline{Y}/X}) \,,$$

et une suite exacte

$$0 \to \mathrm{Pic}(X) \to \mathbf{H}^1(k, C_{\overline{Y}/X}) \to \mathrm{Ker}(\mathrm{Br}(k) \to \mathrm{Br}(X)) \,.$$

Démonstration.
- On suppose que $Z(k) \neq \emptyset$. Alors comme dans la section 2.8 de [BvH09], un point $z \in Z(k)$ définit une section du triangle exact (13) :

$$\mathbf{G}_m \to \mathrm{UPic}'(p : Z \to X) \to \mathrm{UPic}(p : Z \to X) \to \mathbf{G}_m[1] \,.$$

L'existence de cette section assure que les morphismes $\mathbf{H}^1(k, C_{\overline{Y}/X}) \to \mathrm{Br}(k)$ et $\mathbf{H}^2(k, C_{\overline{Y}/X}) \to H^3(k, \mathbf{G}_m)$ dans la suite exacte du théorème 2.1 sont des morphismes nuls, d'où le premier point du corollaire.
- Le théorème 2.1 assure immédiatement les deux autres points du corollaire.

□

3. Groupe de Brauer algébrique d'un torseur

Dans cette section, on applique les résultats généraux de la section 2 à la situation d'un torseur $\pi : Y \xrightarrow{H} X$ défini sur k. Ceci est clairement un cas particulier de torseur avec donnée de recollement. On déduit donc des sections précédentes les résultats suivants :

Théorème 3.1. *Soit k un corps de caractéristique nulle, X une k-variété lisse géométriquement intègre, H un k-groupe linéaire connexe et $\pi : Y \xrightarrow{H} X$ un X-torseur sous H. On a alors un isomorphisme canonique, fonctoriel en (X, Y, H, π) :*

$$U(X) \xrightarrow{\cong} \mathbf{H}^0(k, C_{\overline{Y}/X}) \,,$$

et une suite exacte de groupes commutatifs, fonctorielle en (X, Y, H, π) :

$$0 \to \mathrm{Pic}(X) \to \mathbf{H}^1(k, C_{\overline{Y}/X}) \to \mathrm{Br}(k) \to \mathrm{Br}_1(X, Y) \to \mathbf{H}^2(k, C_{\overline{Y}/X}) \to N^3(k, \mathbf{G}_m) \,,$$

où $N^3(k, \mathbf{G}_m) := \mathrm{Ker}(H^3(k, \mathbf{G}_m) \to H^3(X, \mathbf{G}_m))$.

On en déduit aussi les corollaires suivants. Le premier est évident :

Corollaire 3.2. *Avec les notations du théorème 3.1 :*

- *supposons que* $\mathrm{Br}(k)$ *s'injecte dans* $\mathrm{Br}(X)$. *Alors on a des isomorphismes*

$$U(X) \xrightarrow{\cong} \mathbf{H}^0(k, C_{\overline{Y}/X}) \,, \;\; \mathrm{Pic}(X) \xrightarrow{\cong} \mathbf{H}^1(k, C_{\overline{Y}/X}) \,,$$

et une suite exacte

$$0 \to \mathrm{Br}_a(X, Y) \to \mathbf{H}^2(k, C_{\overline{Y}/X}) \to \mathrm{Ker}(H^3(k, \mathbf{G}_m) \to \mathbf{H}^3(X, \mathbf{G}_m)) \,.$$

- *supposons que* $H^3(k, \mathbf{G}_m)$ *s'injecte dans* $H^3(X, \mathbf{G}_m)$. *Alors on a des isomorphismes*

$$U(X) \xrightarrow{\cong} \mathbf{H}^0(k, C_{\overline{Y}/X}) \,, \;\; \mathrm{Br}_a(X, Y) \xrightarrow{\cong} \mathbf{H}^2(k, C_{\overline{Y}/X}) \,,$$

et une suite exacte

$$0 \to \mathrm{Pic}(X) \to \mathbf{H}^1(k, C_{\overline{Y}/X}) \to \mathrm{Ker}(\mathrm{Br}(k) \to \mathrm{Br}(X)) \,.$$

Le second concerne les torseurs munis d'un point rationnel (voir [BvH09] 2.8 pour les notations $\overline{k}(Y)^*_{y,1}$ et $\mathrm{Div}(\overline{Y})_y$) :

Corollaire 3.3. *Avec les notations du théorème 3.1, supposons qu'il existe $y \in Y(k)$. Alors on a trois isomorphismes*

$$U(X) \xrightarrow{\cong} \mathbf{H}^0(k, C_{\overline{Y}/X}) \,, \;\; \mathrm{Pic}(X) \xrightarrow{\cong} \mathbf{H}^1(k, C_{\overline{Y}/X}) \,, \;\; \mathrm{Br}_a(X,Y) \xrightarrow{\cong} \mathbf{H}^2(k, C_{\overline{Y}/X}) \,.$$

En outre, le complexe $C_{\overline{Y}/X}$ est canoniquement quasi-isomorphe au complexe de modules galoisiens

$$\mathrm{Cône}\left([\overline{k}(Y)^*_{y,1} \to \mathrm{Div}(\overline{Y})_y] \xrightarrow{i_y^*} [\overline{k}(H)^*_{e,1} \to \mathrm{Div}(\overline{H})_e] \right) \,,$$

(où $i_y : H \to Y$ est définie par $h \mapsto y.h$), i.e. à

$$[\overline{k}(Y)^*_{y,1} \to \overline{k}(H)^*_{e,1} \oplus \mathrm{Div}(\overline{Y})_y \to \mathrm{Div}(\overline{H})_e] \,.$$

Démonstration. La seule chose à démontrer est le quasi-isomorphisme

$$C_{\overline{Y}/X} \to C_{\overline{Y}/X,y} := \mathrm{Cône}\left([\overline{k}(Y)^*_{y,1} \to \mathrm{Div}(\overline{Y})_y] \xrightarrow{i_y^*} [\overline{k}(H)^*_{e,1} \to \mathrm{Div}(\overline{H})_e] \right) \,.$$

Pour ce faire, il est clair (voir [BvH09] 2.8) que $C_{\overline{Y}/X}$ est quasi-isomorphe à

$$C_{\overline{Z}/X,z} := \mathrm{Cône}\left([\overline{k}(Z)^*_{z,1} \to \mathrm{Div}(\overline{Z})_z] \xrightarrow{i_z^*} [\overline{k}(H')^*_{e,1} \to \mathrm{Div}(\overline{H'})_e] \right) \,,$$

où $z \in Z(k)$ est l'image de y. Or on a un diagramme commutatif naturel de complexes de modules galoisiens :

$$\begin{array}{ccc}
[\overline{k}(Z)^*_{z,1} \to \mathrm{Div}(\overline{Z})_z] & \longrightarrow & [\overline{k}(H')^*_{e,1} \to \mathrm{Div}(\overline{H'})_e] \\
\downarrow & & \downarrow \\
[\overline{k}(Y)^*_{y,1} \to \mathrm{Div}(\overline{Y})_y] & \longrightarrow & [\overline{k}(H)^*_{e,1} \to \mathrm{Div}(\overline{H})_e]
\end{array}$$

dont on déduit un morphisme canonique de complexes de modules galoisiens

$$\alpha : C_{\overline{Z}/X,z} \to C_{\overline{Y}/X,y} \,.$$

Montrons que ce dernier est un quasi-isomorphisme. Pour $i = 0, 1, 2$, on définit

$$f_i := \mathscr{H}^i(\alpha) : \mathscr{H}^i(C_{\overline{Z}/X,z}) \to \mathscr{H}^i(C_{\overline{Y}/X,y}) \,.$$

Tout d'abord, le morphisme f_0 s'intègre dans le diagramme commutatif exact suivant :

$$\begin{array}{ccccccc}
0 & \longrightarrow & \mathscr{H}^0(C_{\overline{Z}/X,z}) & \longrightarrow & U(\overline{Z}) & \longrightarrow & U(\overline{H'}) \\
 & & \downarrow{\scriptstyle f_0} & & \downarrow & & \downarrow \\
0 & \longrightarrow & \mathscr{H}^0(C_{\overline{Y}/X,y}) & \longrightarrow & U(\overline{Y}) & \longrightarrow & U(\overline{H}) \,,
\end{array}$$

ce qui assure (en utilisant par exemple la proposition 6.10 de [San81]) que f_0 est un isomorphisme qui identifie $\mathscr{H}^0(C_{\overline{Z}/X,z})$ et $\mathscr{H}^0(C_{\overline{Y}/X,y})$ à $U(\overline{X})$.

En degré 2, il est clair que le morphisme f_2 s'identifie au morphisme canonique

$$\mathrm{Pic}(\overline{H}')/\mathrm{Pic}(\overline{Z}) \to \mathrm{Pic}(\overline{H})/\mathrm{Pic}(\overline{Y}) \,.$$

Or on a un diagramme commutatif de suites exactes (voir [San81], proposition 6.10 ou [BD10], théorème 2.8) :

$$\begin{array}{ccccc} \mathrm{Pic}(\overline{Z}) & \longrightarrow & \mathrm{Pic}(\overline{H}') & \longrightarrow & \mathrm{Br}(\overline{X}) \\ \downarrow & & \downarrow & & \downarrow = \\ \mathrm{Pic}(\overline{Y}) & \longrightarrow & \mathrm{Pic}(\overline{H}) & \longrightarrow & \mathrm{Br}(\overline{X}) , \end{array}$$

et le lemme 2.4 assure que le morphisme central est surjectif. Une chasse au diagramme assure alors que le morphisme

$$\mathrm{Pic}(\overline{H}')/\mathrm{Pic}(\overline{Z}) \to \mathrm{Pic}(\overline{H})/\mathrm{Pic}(\overline{Y})$$

est un isomorphisme

De la même façon, en degré 1, la cohomologie des deux complexes $C_{\overline{Y}/X,y}$ et $C_{\overline{Z}/X,z}$ est exactement $\mathrm{Pic}(\overline{X})$ et le morphisme f_1 est l'identité de $\mathrm{Pic}(\overline{X})$.

Finalement, tous les f_i sont des isomorphismes, donc α est un quasi-isomorphisme. □

Exemples : Dans la situation du théorème 3.1, l'objet $C_{\overline{Y}/X}$ est parfois représentable par un complexe explicite de modules galoisiens définis à partir de Y et H (sans faire intervenir Z), comme le montrent les exemples suivants :

- Supposons qu'il existe $y \in Y(k)$. Alors on a montré au corollaire 3.3 l'existence d'un quasi-isomorphisme canonique :
$$C_{\overline{Y}/X} \to [\overline{k}(Y)^*_{y,1}/\overline{k}^* \to \mathrm{Div}(\overline{Y})_y \oplus \overline{k}(H)^*_{e,1}/k^* \to \mathrm{Div}(\overline{H})_e] \, .$$
- Supposons que $H^{\mathrm{tor}} = 0$. Alors on a un quasi-isomorphisme canonique :
$$C_{\overline{Y}/X} \to [\overline{k}(Y)^*/\overline{k}^* \to \mathrm{Div}(\overline{Y}) \xrightarrow{\varphi_1} \mathrm{Pic}(\overline{H})] \, .$$

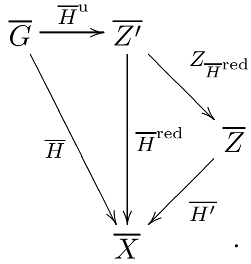
4. Groupe de Brauer des espaces homogènes

Dans cette section, on donne une autre application des résultats généraux de la section 2, application aux espaces homogènes à stabilisateurs linéaires connexes, ne possédant pas nécessairement de point rationnel.

Considèrons un groupe algébrique connexe G sur un corps k de caractéristique nulle, et un espace homogène (à gauche) X de G sur k. Si on choisit $\overline{x} \in X(\overline{k})$, on obtient un morphisme

$$\overline{\pi}_{\overline{x}} : \overline{G} \xrightarrow{\overline{H}} \overline{X}$$

défini par $\overline{\pi}_{\overline{x}}(\overline{g}) := \overline{g}.\overline{x}$, qui est un torseur (à droite) sous le $\overline{k}$-groupe linéaire $\overline{H} := \mathrm{Stab}_{\overline{G}}(\overline{x})$. Sur $\overline{k}$, on dispose d'un diagramme commutatif naturel :



Remarquons que $\overline{G}$ est muni d'une structure de $\overline{X}$-torseur à droite sous $\overline{H}$ et d'une action à gauche de $\overline{G}$. Cela induit sur $\overline{Z}$ une structure de $\overline{X}$-torseur à droite sous $\overline{H'}$ et une action à gauche de $\overline{G}$.

La donnée de $\overline{x}$ définit une donnée de recollement sur $\pi_{\overline{x}} : \overline{G} \to \overline{X}$ (voir [HS02], proposition 3.3), i.e. une extension localement scindée de groupes topologiques

$$1 \to \overline{H}(\overline{k}) \to \mathrm{SAut}_G(\overline{G}/X) \to \Gamma_k \to 1$$

vérifiant les conditions de la définition 1.2 et de la définition 2.1 de [HS02]. Par fonctorialité, cette suite induit une suite exacte

$$1 \to \overline{H'}(\overline{k}) \to \mathrm{SAut}_G(\overline{Z}/X) \to \Gamma_k \to 1 \tag{17}$$

où $\mathrm{SAut}_G(\overline{Z}/X)$ désigne le sous-groupe de $\mathrm{SAut}(\overline{Z}/X)$ formé des φ tels que

$$\varphi(g.z) = ({}^{q(\varphi)}g).\varphi(z) ,$$

($q : \mathrm{SAut}(\overline{Z}/X) \to \Gamma_k$ est le morphisme évident et l'action de $\overline{G}$ sur $\overline{Z}$ est celle mentionnée plus haut).

On est donc dans le cadre général développé à la section 2. Remarquons que le fait que la classe de la donnée de recollement sur $\overline{Z}/X$ soit neutre (i.e. que l'extension (17) soit scindée) assure non seulement que le torseur $\overline{Z}/\overline{X}$ descende en Z/X, mais aussi que l'action de $\overline{G}$ sur $\overline{Z}$ descende en une action de G sur Z compatible à l'action sur X, faisant de Z un espace homogène de G à stabilisateur $\mathrm{Ker}(\overline{H} \to \overline{H'})$.

Dans la suite, on sera amené à faire l'une ou l'autre des hypothèses suivantes :

(1) L'espace homogène X a un point rationnel, i.e. $X(k) \neq \emptyset$.
(2) Le groupe G est linéaire et $\mathrm{Pic}(\overline{G}) = 0$, i.e. $G^{\mathrm{ab}} = 0$ et G^{ss} est simplement connexe.

Sous l'une ou l'autre de ces hypothèses, on va associer à X (à la paire (H, G)) un complexe de modules galoisiens de longueur 3 noté $\widehat{C}_X := [M_1 \to M_2 \to M_3]$ (par convention, M_1 est en degré 0 et M_3 en degré 2) et construire un morphisme canonique de groupes abéliens $\kappa_X : \mathbf{H}^2(k, \widehat{C}_X) \to \mathrm{Br}_a(X, G)$. Pour ce faire, on va relier le complexe $\widehat{C}_X$ au complexe $C_{\overline{G}/X}$ (cf section 1.2), puis appliquer les résultats généraux de la section 2.

4.1. **Le complexe associé à un espace homogène.**

4.1.1. *Complexe associé à un groupe algébrique connexe.* On commence par construire la sous-variété semi-abélienne maximale d'un groupe algébrique connexe.

Si G/k est un groupe réductif, on note G^{ss} son sous-groupe dérivé et G^{sc} le revêtement simplement connexe de G^{ss}. On dispose donc d'un morphisme naturel $\rho : G^{\mathrm{sc}} \to G$. On notera Z_G le centre de G, $Z_{G^{\mathrm{sc}}}$ celui de G^{sc}, et T_G un k-tore maximal de G. On pose $T_{G^{\mathrm{sc}}} := \rho^{-1}(T_G)$, qui est un tore maximal de G^{sc}.

Désormais G est un k-groupe algébrique connexe.

Par un théorème de Rosenlicht (voir [Ros56], corollaire 3 du théorème 12), il existe $D \subset G$ un k-sous-groupe distingué connexe tel que $G_{\mathrm{lin}} := G/D$ soit linéaire et vérifie la propriété universelle suivante : pour tout k-groupe linéaire H et tout morphisme $f : G \to H$, il existe un unique morphisme $f_{\mathrm{lin}} : G_{\mathrm{lin}} \to H$ tel que f se factorise par le quotient $G \to G_{\mathrm{lin}}$. Outre la suite exacte ainsi obtenue :

$$1 \to D \to G \xrightarrow{\pi} G_{\mathrm{lin}} \to 1 ,$$

on dispose du théorème de Chevalley : il existe un sous-groupe caractéristique $G^{\mathrm{lin}} \subset G$, qui est linéaire connexe, et tel que le quotient $G^{\mathrm{ab}} := G/G^{\mathrm{lin}}$ soit une k-variété abélienne.

$$1 \to G^{\mathrm{lin}} \to G \xrightarrow{p} G^{\mathrm{ab}} \to 1 .$$

On a alors le fait suivant (voir [Ros56], corollaire 1 du théorème 13 et corollaire 5 du théorème 16) :

Lemme 4.1. *Avec les notations précédentes,*

(1) $G = G^{\mathrm{lin}}.D$.
(2) *Le sous-groupe D est central, i.e. $D \subset Z(G)$.*

On déduit de ce lemme le diagramme commutatif exact de k-groupes suivant :

(18)
$$\begin{array}{ccccccccc}
 & & 1 & & 1 & & & & \\
 & & \downarrow & & \downarrow & & & & \\
1 & \longrightarrow & G^{\mathrm{lin}} \cap D & \longrightarrow & D & \xrightarrow{p'} & G^{\mathrm{ab}} & \longrightarrow & 1 \\
 & & \downarrow & & \downarrow & & \downarrow {\scriptstyle =} & & \\
1 & \longrightarrow & G^{\mathrm{lin}} & \longrightarrow & G & \xrightarrow{p} & G^{\mathrm{ab}} & \longrightarrow & 1 \\
 & & \downarrow {\scriptstyle \pi'} & & \downarrow {\scriptstyle \pi} & & & & \\
 & & G_{\mathrm{lin}} & \xrightarrow{=} & G_{\mathrm{lin}} & & & & \\
 & & \downarrow & & \downarrow & & & & \\
 & & 1 & & 1 & & & & .
\end{array}$$

Notons que le groupe $G^{\mathrm{lin}} \cap D$ est un sous-groupe central de G^{lin}, donc c'est un groupe linéaire commutatif.

On fait d'abord l'hypothèse suivante : *le groupe G^{lin} est réductif.* Alors G_{lin} est réductif. Fixons $T_{G_{\mathrm{lin}}} \subset G_{\mathrm{lin}}$ un k-tore maximal. La suite exacte

$$1 \to G^{\mathrm{lin}} \cap D \to G^{\mathrm{lin}} \xrightarrow{\pi'} G_{\mathrm{lin}} \to 1$$

assure que $T_G = T_{G^{\mathrm{lin}}} := {\pi'}^{-1}(T_{G_{\mathrm{lin}}}) \subset G^{\mathrm{lin}}$ est un tore maximal de G^{lin}. Définissons alors $\mathrm{SA}_G := \pi^{-1}(T_{G_{\mathrm{lin}}}) \subset G$. Le diagramme (18) induit un diagramme commutatif de groupes algébriques commutatifs :

$$\begin{array}{ccccccccc}
 & & 1 & & 1 & & & & \\
 & & \downarrow & & \downarrow & & & & \\
1 & \longrightarrow & G^{\mathrm{lin}} \cap D & \longrightarrow & D & \xrightarrow{p'} & G^{\mathrm{ab}} & \longrightarrow & 1 \\
 & & \downarrow & & \downarrow & & \downarrow {\scriptstyle =} & & \\
1 & \longrightarrow & T_G & \longrightarrow & \mathrm{SA}_G & \xrightarrow{p} & G^{\mathrm{ab}} & \longrightarrow & 1 \\
 & & \downarrow {\scriptstyle \pi'} & & \downarrow {\scriptstyle \pi} & & & & \\
 & & T_{G_{\mathrm{lin}}} & \xrightarrow{=} & T_{G_{\mathrm{lin}}} & & & & \\
 & & \downarrow & & \downarrow & & & & \\
 & & 1 & & 1 & & & & .
\end{array}$$

Le groupe SA_G est donc une extension de la variété abélienne G^{ab} par le k-tore T_G. Donc SA_G est une variété semi-abélienne sur k. C'est cette variété semi-abélienne qui va jouer le rôle que jouait le tore maximal dans les groupes réductifs.

Lemme 4.2. *Le groupe SA_G est une sous-variété semi-abélienne maximale de G, i.e. toute variété semi-abélienne contenue dans G et contenant SA_G est égale à SA_G.*

Démonstration. La preuve est évidente. □

Si G^{sc} désigne le revêtement simplement connexe du groupe dérivé de G^{lin}, on a bien des morphismes naturels $\rho_G : G^{\mathrm{sc}} \to G$ et $\rho_G : T_{G^{\mathrm{sc}}} \to \mathrm{SA}_G$ de sorte que le diagramme suivant soit commutatif :

$$\begin{array}{ccccc} Z_{G^{\mathrm{sc}}} & \longrightarrow & T_{G^{\mathrm{sc}}} & \longrightarrow & G^{\mathrm{sc}} \\ \downarrow & & \downarrow & & \downarrow \\ Z_G & \longrightarrow & \mathrm{SA}_G & \longrightarrow & G\,. \end{array} \tag{19}$$

Lemme 4.3. *Le diagramme (19) définit des quasi-isomorphismes de modules croisés*

$$[Z_{G^{\mathrm{sc}}} \to Z_G] \to [T_{G^{\mathrm{sc}}} \to \mathrm{SA}_G] \to [G^{\mathrm{sc}} \to G]\,.$$

Démonstration. On commence par vérifier que le morphisme $G^{\mathrm{sc}} \to G$ définit un module croisé. Par le lemme 4.1.1, on sait que $Z_{G^{\mathrm{lin}}} = Z_G \cap G^{\mathrm{lin}}$ et que l'on a une suite exacte

$$0 \to Z_{G^{\mathrm{lin}}} \to Z_G \to G^{\mathrm{ab}} \to 0\,.$$

On définit alors un morphisme $G \to \mathrm{Aut}(G^{\mathrm{sc}})$ comme le composé des morphismes suivants :

$$G \to G/Z_G \cong G^{\mathrm{lin}}/Z_{G^{\mathrm{lin}}} \cong G^{\mathrm{sc}}/Z_{G^{\mathrm{sc}}} = \mathrm{Int}(G^{\mathrm{sc}}) \subset \mathrm{Aut}(G^{\mathrm{sc}})\,.$$

On vérifie alors immédiatemment que cette action de G sur G^{sc} définit une structure de module croisé sur $G^{\mathrm{sc}} \to G$. Avec cette définition, le diagramme (19) est bien formé de morphismes de modules croisés.

Pour montrer que les morphismes du lemme sont des quasi-isomorphismes, la preuve est identique à celle du lemme 2.4.1 de [Bor98], en remarquant que $G = G^{\mathrm{ss}}.Z_G = G^{\mathrm{ss}}.\mathrm{SA}_G$ (voir le lemme 4.1.1) et que $\rho_G(T_{G^{\mathrm{sc}}}) = \mathrm{SA}_G \cap G^{\mathrm{ss}}$ et $\rho_G(Z_{G^{\mathrm{sc}}}) = Z_G \cap G^{\mathrm{ss}}$. □

Plus généralement, si G^{lin} n'est pas supposé réductif, on note G^{u} le radical unipotent de G^{lin}, $\mathrm{SA}_G := \mathrm{SA}_{G/G^{\mathrm{u}}}$ et $C_G := [T_{G^{\mathrm{sc}}} \to \mathrm{SA}_G]$.

Exemples :

- Si G est réductif, on retrouve le complexe de tores $C_G = [T_{G^{\mathrm{sc}}} \to T_G]$ utilisé par Borovoi (voir [Bor98]).
- Si G est une variété semi-abélienne, alors $C_G = [0 \to G]$ peut être considéré comme le 1-motif associé à G.

Pour tout groupe connexe G, on a donc construit le complexe $C_G := [T_{G^{\mathrm{sc}}} \xrightarrow{\rho_G} \mathrm{SA}_G]$. On voit ce complexe comme un objet de la catégorie des complexes de groupes algébriques commutatifs sur k. L'objet qui nous intéresse est le complexe de modules galoisiens “dual” du complexe C_G, que l'on note $\widehat{C}_G$:

$$\widehat{C}_G := [\widehat{T_G} \to (G^{\mathrm{ab}})^*(\overline{k}) \oplus \widehat{T_{G^{\mathrm{sc}}}}]\,,$$

avec $\widehat{T_G}$ en degré 0. Définissons aussi une variante de ce complexe :

$$\widehat{C}'_G := [\widehat{T_G} \to \mathrm{Pic}(\overline{G^{\mathrm{ab}}}) \oplus \widehat{T_{G^{\mathrm{sc}}}}]\,.$$

Le complexe $\widehat{C}_G$ est lié au groupe $\mathrm{Br}(G)$. Le point crucial est le théorème suivant, qui généralise le théorème 4.8 de [BvH09] au cas des groupes non-linéaires :

Théorème 4.4. *Soit G un groupe algébrique connexe. Il existe dans la catégorie dérivée un isomorphisme canonique*

$$\widehat{C}'_G \cong \mathrm{UPic}(\overline{G})$$

et un triangle exact canonique

$$\widehat{C}_G \to \mathrm{UPic}(\overline{G}) \to \mathrm{NS}(\overline{G}^{\mathrm{ab}})[-1] \to \widehat{C}_G[1]\,.$$

Démonstration. L'isomorphisme $(\overline{G}^{\mathrm{ab}})^*(\overline{k}) \cong \mathrm{Pic}^0(\overline{G}^{\mathrm{ab}})$ induit une suite exacte

$$0 \to (\overline{G}^{\mathrm{ab}})^*(\overline{k}) \to \mathrm{Pic}(\overline{G}^{\mathrm{ab}}) \to \mathrm{NS}(\overline{G}^{\mathrm{ab}}) \to 0\,.$$

Par conséquent, il suffit de montrer que le complexe $[\widehat{T_G} \to \widehat{T_{G^{\mathrm{sc}}}} \oplus \mathrm{Pic}(\overline{G}^{\mathrm{ab}})]$ est quasi-isomorphe à $\mathrm{UPic}(\overline{G})$. Enfin, puisque le morphisme naturel $\mathrm{UPic}(\overline{G/G^{\mathrm{u}}}) \to \mathrm{UPic}(\overline{G})$ est un isomorphisme, on peut supposer que G^{lin} est réductif.

Lemme 4.5. *Le diagramme naturel suivant*

$$(20)\qquad \begin{array}{ccc}
\widehat{T_G} & \xrightarrow{\widehat{\rho}\oplus\Delta'_{\mathrm{SA}_G/T_G}} & \widehat{T_{G^{\mathrm{sc}}}} \oplus \mathrm{Pic}(\overline{G}^{\mathrm{ab}}) \\
\uparrow{\scriptstyle \mathrm{pr}_1} & & \uparrow{\scriptstyle f_1\oplus f_2} \\
\widehat{T_G} \oplus \overline{k}(G)^*/\overline{k}^* & \xrightarrow{\lambda} & \mathrm{UPic}_{\overline{T}_G}(\overline{G})^1 \\
\downarrow{\scriptstyle \mathrm{pr}_2} & & \downarrow{\scriptstyle \mathrm{pr}_{\mathrm{Div}}} \\
\overline{k}(G)^*/\overline{k}^* & \xrightarrow{\mathrm{div}} & \mathrm{Div}(\overline{G})
\end{array}$$

est commutatif, et il induit des quasi-isomorphismes entre les trois complexes horizontaux.

Démonstration. Le groupe $\mathrm{UPic}_{\overline{T}_G}(\overline{G})^1$ est défini dans [BvH10], section 2, de la façon suivante : si H est un k-groupe linéaire connexe agissant (à gauche) sur une k-variété géométriquement intègre Y, on note

$$\mathrm{UPic}_{\overline{H}}(\overline{Y})^1 := \left\{(D,z) \in \mathrm{Div}(\overline{Y}) \times \overline{k}(H \times Y)^* : \left\{ \begin{array}{l} z_{h_1h_2}(y) = z_{h_1}(y).z_{h_2}(h_1^{-1}.y) \\ \mathrm{div}(z) = m^*D - \mathrm{pr}_Y^*D \end{array} \right. \right\},$$

où $m : H \times Y \to Y$ désigne l'action de H sur Y et $\mathrm{pr}_Y : H \times Y \to Y$ désigne la projection sur le second facteur. On dispose d'un complexe canonique (voir [BvH10], définition 2.3)

$$\mathrm{UPic}_{\overline{H}}(\overline{Y}) := \left[\overline{k}(Y)^*/\overline{k}^* \xrightarrow{d} \mathrm{UPic}_{\overline{H}}(\overline{Y})^1\right]$$

défini par $d(f) := \left(\mathrm{div}(f), \frac{m^*f}{\mathrm{pr}_Y^*f}\right)$, de sorte que $\mathrm{Ker}(d)$ soit canoniquement isomorphe à $U_{\overline{H}}(\overline{Y})$ et $\mathrm{Coker}(d)$ à $\mathrm{Pic}_{\overline{H}}(\overline{Y})$ (voir [BvH10], section 2 et théorème 3.12).

Définissons chacun des morphismes apparaissant dans le diagramme (20). Le morphisme $\lambda : \widehat{T_G} \oplus \overline{k}(G)^*/\overline{k}^* \to \mathrm{UPic}_{\overline{T}_G}(\overline{G})^1$ est défini par la formule suivante : $\lambda(\chi, f) := (\chi.d^0(f), \mathrm{div}(f))$, où $d^0(f) : (t,g) \mapsto f(t.g)/f(g)$. Le morphisme f_1 est la composée

$$f_1 : \mathrm{UPic}_{\overline{T}_G}(\overline{G})^1 \xrightarrow{\nu} \mathrm{Pic}_{\overline{T}_G}(\overline{G}) \to \mathrm{Pic}_{\overline{T}_{G^{\mathrm{sc}}}}(\overline{G}^{\mathrm{sc}}) \xleftarrow{\cong} \widehat{T_{G^{\mathrm{sc}}}}\,,$$

où ν est le morphisme naturel (voir [BvH10], théorème 3.12) et le dernier morphisme provient de [KKV89], lemme 2.2 et proposition 2.3. De même, f_2 est la composée

$$f_2 : \mathrm{UPic}_{\overline{T}_G}(\overline{G})^1 \xrightarrow{\nu} \mathrm{Pic}_{\overline{T}_G}(\overline{G}) \to \mathrm{Pic}_{\overline{T}_G}(\overline{\mathrm{SA}}_G) \xleftarrow{\cong} \mathrm{Pic}(\overline{G}^{\mathrm{ab}})\,,$$

où le dernier morphisme provient de la proposition 5.1 de [KKV89]. Les autres morphismes du diagramme (20) sont les morphismes naturels.

Le diagramme (20) est commutatif : pour le carré inférieur, c'est évident. Pour le carré supérieur, cela résulte d'un calcul explicitant les différents morphismes.

Montrons que le diagramme (20) définit des quasi-isomorphismes entre les complexes horizontaux. Considérons d'abord le carré inférieur. Les noyaux de λ et div sont clairement isomorphes via pr_2 (ils sont canoniquement isomorphes à $U(\overline{G})$). Le morphisme $\mathrm{Coker}(\lambda) \to \mathrm{Coker}(\mathrm{div})$ s'identifie au morphisme naturel $\mathrm{Pic}_{\overline{T}_G}(\overline{G})/H^1_{\mathrm{alg}}(\overline{T}_G, \mathscr{O}(\overline{G})^*) \to$

$\mathrm{Pic}(\overline{G})$, et celui-ci est un isomorphisme par [KKV89], lemme 2.2 (en utilisant $\mathrm{Pic}(\overline{T_G}) = 0$). Donc le carré inférieur définit un quasi-isomorphisme entre les complexes horizontaux.

Considérons pour finir le carré supérieur : à nouveau, il est clair que le morphisme pr_1 induit un isomorphisme $\mathrm{Ker}(\lambda) \cong \mathrm{Ker}(\widehat{\rho} \oplus \Delta'_{\mathrm{SA}_{G/T_G}})$. Montrons que $f_1 \oplus f_2 : \mathrm{Coker}(\lambda) \to \mathrm{Coker}(\widehat{\rho} \oplus \Delta'_{\mathrm{SA}_{G/T_G}})$ est un isomorphisme.

Lemme 4.6. *Le morphisme canonique* $\mathrm{Pic}_{\overline{T_G}}(\overline{G}) \to \mathrm{Pic}_{\overline{T_G}}(\overline{G}^{\mathrm{lin}}) \oplus \mathrm{Pic}(\overline{G}^{\mathrm{ab}})$ *est un isomorphisme.*

Démonstration. Définissons les espaces homogènes $W := G/T_G$ et $W^{\mathrm{lin}} := G^{\mathrm{lin}}/T_G$. Considérons le diagramme commutatif “exact” de k-variétés suivant :

(21)
$$\begin{array}{ccccccccc}
 & & 1 & & 1 & & & & \\
 & & \downarrow & & \downarrow & & & & \\
 & & T_G & \xrightarrow{=} & T_G & & & & \\
 & & \downarrow & & \downarrow & & & & \\
1 & \longrightarrow & G^{\mathrm{lin}} & \longrightarrow & G & \longrightarrow & G^{\mathrm{ab}} & \longrightarrow & 1 \\
 & & \downarrow & & \downarrow & & \downarrow{=} & & \\
1 & \longrightarrow & W^{\mathrm{lin}} & \xrightarrow{i} & W & \xrightarrow{p} & G^{\mathrm{ab}} & \longrightarrow & 1 \\
 & & \downarrow & & \downarrow & & & & \\
 & & 1 & & 1 & & & & .
\end{array}$$

Remarquons que les inclusions $T_G \subset \mathrm{SA}_G \subset G$ induisent un morphisme naturel $s : G^{\mathrm{ab}} \to W$ de sorte que $p \circ s = \mathrm{id}_{G^{\mathrm{ab}}}$. De la même façon, on a un morphisme naturel $q : W \to W^{\mathrm{lin}}$ obtenu en identifiant W^{lin} à G/SA_G, de sorte que $q \circ i = \mathrm{id}_{W^{\mathrm{lin}}}$. Considérons alors la suite de morphismes suivante :

(22)
$$0 \to \mathrm{Pic}(\overline{G}^{\mathrm{ab}}) \xrightarrow{p^*} \mathrm{Pic}(\overline{W}) \xrightarrow{i^*} \mathrm{Pic}(\overline{W}^{\mathrm{lin}}) \to 0\,.$$

Cette suite est clairement un complexe. L'existence des morphismes s et q assure son exactitude en $\mathrm{Pic}(\overline{G}^{\mathrm{ab}})$ et en $\mathrm{Pic}(\overline{W}^{\mathrm{lin}})$, ainsi que l'existence d'une section du morphisme i^*. Montrons que cette suite est exacte en $\mathrm{Pic}(\overline{W})$.

On dispose d'un diagramme commutatif, issu du diagramme (21), dont les lignes et les colonnes sont exactes (hormis la troisième ligne en $\mathrm{Pic}(\overline{W})$) :

(23)
$$\begin{array}{ccccccccc}
 & & 0 & \longrightarrow & \widehat{G} & \xrightarrow{a} & \widehat{G^{\mathrm{lin}}} & \xrightarrow{t} & \mathrm{Pic}(\overline{G}^{\mathrm{ab}}) \\
 & & & & \downarrow{\alpha} & & \downarrow{\alpha'} & & \\
 & & & & \widehat{T_G} & \xrightarrow[=]{b} & \widehat{T_G} & & \\
 & & & & \downarrow{\beta} & & \downarrow{\beta'} & & \\
0 & \longrightarrow & \mathrm{Pic}(\overline{G}^{\mathrm{ab}}) & \xrightarrow{p^*} & \mathrm{Pic}(\overline{W}) & \xrightarrow{i^*} & \mathrm{Pic}(\overline{W}^{\mathrm{lin}}) & \longrightarrow & 0 \\
 & & \downarrow{=} & & \downarrow{\gamma} & & \downarrow{\gamma'} & & \\
\widehat{G^{\mathrm{lin}}} & \xrightarrow{t} & \mathrm{Pic}(\overline{G}^{\mathrm{ab}}) & \xrightarrow{e} & \mathrm{Pic}(\overline{G}) & \xrightarrow{d} & \mathrm{Pic}(\overline{G}^{\mathrm{lin}}) & & .
\end{array}$$

Deux applications du lemme du serpent aux deux colonnes de ce diagramme assure l'existence d'une suite exacte canonique

$$0 \to \widehat{G^{\mathrm{lin}}}/\widehat{G} \xrightarrow{h} \mathrm{Ker}(i^*) \xrightarrow{\gamma} \mathrm{Ker}(d) \to 0$$

qui s'insère dans le diagramme suivant à lignes exactes :

$$\begin{array}{ccccccccc} 0 & \longrightarrow & \widehat{G^{\mathrm{lin}}}/\widehat{G} & \xrightarrow{t} & \mathrm{Pic}(\overline{G}^{\mathrm{ab}}) & \xrightarrow{e} & \mathrm{Ker}(d) & \longrightarrow & 0 \\ & & \downarrow = & & \downarrow p^* & & \downarrow = & & \\ 0 & \longrightarrow & \widehat{G^{\mathrm{lin}}}/\widehat{G} & \xrightarrow{h} & \mathrm{Ker}(i^*) & \xrightarrow{\gamma} & \mathrm{Ker}(d) & \longrightarrow & 0\,. \end{array}$$

On vérifie alors facilement que ce diagramme est commutatif et on conclut avec le lemme des cinq que p^* identifie $\mathrm{Pic}(\overline{G}^{\mathrm{ab}})$ à $\mathrm{Ker}(i^*)$, ce qui conclut la preuve de l'exactitude de la suite (22), ce qui assure donc que l'on a un isomorphisme canonique

$$s^* \oplus i^* : \mathrm{Pic}(\overline{W}) \xrightarrow{\cong} \mathrm{Pic}(\overline{G}^{\mathrm{ab}}) \oplus \mathrm{Pic}(\overline{W}^{\mathrm{lin}})\,.$$

On conclut alors la preuve du lemme 4.6 en utilisant les isomorphismes fonctoriels de [KKV89] (proposition 5.1) $\mathrm{Pic}(\overline{W}) \xrightarrow{\cong} \mathrm{Pic}_{\overline{T_G}}(\overline{G})$ et $\mathrm{Pic}(\overline{W}^{\mathrm{lin}}) \xrightarrow{\cong} \mathrm{Pic}_{\overline{T_G}}(\overline{G}^{\mathrm{lin}})$. □

Utilisons maintenant le lemme 4.6 pour montrer le lemme 4.5. Grâce à [BvH10], théorème 3.12, le complexe central dans (20) est canoniquement quasi-isomorphe au complexe

$$[\widehat{T_G} \xrightarrow{\lambda} \mathrm{Pic}_{\overline{T_G}}(\overline{G})]\,,$$

puisque $U_{\overline{T}_G}(\overline{G}) = U_{\overline{T}_G}(\overline{G}^{\mathrm{tor}}) = 0$, en utilisant les notations et le lemme 5.4 de [BvH10].

Or ce complexe s'inscrit dans le diagramme commutatif suivant

$$\begin{array}{ccc} \widehat{T_G} & \xrightarrow{\lambda^{\mathrm{lin}} \oplus \Delta'_{\mathrm{SA}_{G/T_G}}} & \mathrm{Pic}_{\overline{T}_G}(\overline{G}^{\mathrm{lin}}) \oplus \mathrm{Pic}(\overline{G}^{\mathrm{ab}}) \\ = \uparrow & & \uparrow f_1 \oplus f_2 \\ \widehat{T_G} & \xrightarrow{\lambda} & \mathrm{Pic}_{\overline{T}_G}(\overline{G})\,. \end{array}$$

qui est un isomorphisme entre les complexes horizontaux par le lemme 4.6. Enfin, on peut identifier canoniquement $\mathrm{Pic}_{\overline{T}_G}(\overline{G}^{\mathrm{lin}})$ à $\widehat{T_{G^{\mathrm{sc}}}}$ (en utilisant la proposition 5.1 de [KKV89]), et donc le complexe $[\widehat{T_G} \xrightarrow{\lambda^{\mathrm{lin}} \oplus \Delta'_{\mathrm{SA}_{G/T_G}}} \mathrm{Pic}_{\overline{T}_G}(\overline{G}^{\mathrm{lin}}) \oplus \mathrm{Pic}(\overline{G}^{\mathrm{ab}})]$ au complexe $[\widehat{T_G} \xrightarrow{\widehat{\rho} \oplus \Delta'_{\mathrm{SA}_{G/T_G}}} \widehat{T_{G^{\mathrm{sc}}}} \oplus \mathrm{Pic}(\overline{G}^{\mathrm{ab}})]$, ce qui assure que le carré supérieur dans le lemme 4.5 est un quasi-isomorphisme. □

Il est alors clair que le lemme 4.5 implique le théorème 4.4. □

4.1.2. *Cas des espaces homogènes de groupes linéaires connexes.* Revenons maintenant au cas de l'espace homogène X de G. Le lien $L_{\overline{G}/X}$ sur $\overline{H}$, défini par la donnée de recollement induite par $\overline{x} \in X(\overline{k})$, définit une k-forme $Z_{H^{\mathrm{red}}}$ du centre de $\overline{H}^{\mathrm{red}}$. De même, ce lien définit une k-forme $Z_{H^{\mathrm{sc}}}$ du centre de $\overline{H}^{\mathrm{sc}}$. Fixons une décomposition de Lévi de $\overline{H}$. L'inclusion induite par cette décomposition $Z_{H^{\mathrm{red}}} \to G$ n'est pas en général Γ_k-équivariante. En revanche, on vérifie qu'au niveau des modules de caractères, le morphisme induit $\widehat{G} \to \widehat{Z_{H^{\mathrm{red}}}}$ est Γ_k-équivariant et ne dépend pas de la décomposition de Lévi choisie. On dispose ainsi d'un complexe canonique de modules galoisiens de longueur 3 :

$$\widehat{\widehat{C}}_X := \left[\widehat{G} \to \widehat{Z_{\overline{H}^{\mathrm{red}}}} \to \widehat{Z_{\overline{H}^{\mathrm{sc}}}}\right]\,.$$

On peut comparer le complexe $C_{\overline{Z}/X}$ avec le complexe de modules galoisiens $\widehat{\widehat{C}}_X$.

Pour cela, on considère le diagramme suivant :

$$
\begin{array}{ccccc}
\widehat{G} & \longrightarrow & \widehat{Z_{\overline{H}^{\mathrm{red}}}} & \longrightarrow & \widehat{Z_{\overline{H}^{\mathrm{sc}}}} \\
\downarrow{=} & & \downarrow{\cong} & & \downarrow{\cong} \\
\widehat{G} & \longrightarrow & \mathrm{Pic}_{\overline{G}}(\overline{Z}) & \longrightarrow & \mathrm{Pic}(\overline{H'}) \\
{\scriptstyle \mathrm{pr}_1}\uparrow & & {\scriptstyle \nu'}\uparrow & & {\scriptstyle =}\uparrow \\
\widehat{G} \oplus \overline{k}(Z)^*/\overline{k}^* & \longrightarrow & \mathrm{UPic}_{\overline{G}}(\overline{Z})^1 & \longrightarrow & \mathrm{Pic}(\overline{H'}) \\
\downarrow{\scriptstyle \mathrm{pr}_2} & & \downarrow{\scriptstyle \mu} & & \downarrow{\cong} \\
\overline{k}(Z)^*/\overline{k}^* & \longrightarrow & \mathrm{Div}(\overline{Z}) & \longrightarrow & \mathrm{Pic}'(\overline{Z}/\overline{X})\,.
\end{array}
\tag{24}
$$

Définissons les deux morphismes $\widehat{Z_{\overline{H}^{\mathrm{red}}}} \cong \mathrm{Pic}_{\overline{G}}(\overline{Z})$ et $\widehat{Z_{\overline{H}^{\mathrm{sc}}}} \cong \mathrm{Pic}(\overline{H'})$. Pour le premier, c'est le morphisme de [KKLV89], exemple 2.1 (voir aussi [Pop74], théorème 4). Pour le second, on a un isomorphisme bien connu $\widehat{Z_{\overline{H}^{\mathrm{sc}}}} \xrightarrow{\cong} \mathrm{Pic}(\overline{H}^{\mathrm{sc}}/Z_{\overline{H}^{\mathrm{sc}}})$, et le morphisme $\overline{H}^{\mathrm{sc}}/Z_{\overline{H}^{\mathrm{sc}}} \to \overline{H}^{\mathrm{red}}/Z_{\overline{H}^{\mathrm{red}}} = \overline{H}'$ est un isomorphisme de groupes algébriques, donc $\mathrm{Pic}(\overline{H'}) \xrightarrow{\cong} \mathrm{Pic}(\overline{H}^{\mathrm{sc}}/Z_{\overline{H}^{\mathrm{sc}}})$, d'où le second isomorphisme recherché.

On vérifie facilement que ce diagramme est commutatif. On voit ce diagramme comme un diagramme entre les complexes de modules galoisiens horizontaux. On vérifie que ce diagramme réalise des quasi-isomorphismes entre les complexes des trois premières lignes.

On déduit donc de ce diagramme un morphisme canonique dans la catégorie dérivée :

$$\widehat{\widehat{C}}_X \to C_{\overline{G}/X}\,,$$

qui s'intègre dans le triangle exact suivant :

$$\widehat{\widehat{C}}_X \to C_{\overline{G}/X} \to \mathrm{Pic}(\overline{G})[-1] \to \widehat{\widehat{C}}_X[1]\,.$$

On écrit alors la suite exacte longue associée à ce triangle, ainsi que la suite exacte du théorème 2.1, et on obtient les suites exactes suivantes :

$$0 \to \mathbf{H}^1(k, \widehat{\widehat{C}}_X) \to \mathbf{H}^1(k, C_{\overline{G}/X}) \to \mathrm{Pic}(\overline{G})^{\Gamma_k} \to \mathbf{H}^2(k, \widehat{\widehat{C}}_X) \to \mathbf{H}^2(k, C_{\overline{G}/X}) \to H^1(k, \mathrm{Pic}(\overline{G}))$$

$$0 \to \mathrm{Pic}(X) \to \mathbf{H}^1(k, C_{\overline{G}/X}) \to \mathrm{Br}(k) \to \mathrm{Br}_1(X,G) \to \mathbf{H}^2(k, C_{\overline{G}/X}) \to N^3(k, \mathbf{G}_m)\,,$$

où $N^3(k, \mathbf{G}_m) := \mathrm{Ker}(H^3(k, \mathbf{G}_m) \to H^3(X, \mathbf{G}_m))$. On obtient aussi les isomorphismes $U(X) \xrightarrow{\cong} \mathbf{H}^0(k, C_{\overline{G}/X}) \xleftarrow{\cong} \mathbf{H}^0(k, \widehat{\widehat{C}}_X)$. On peut donc finalement énoncer le résultat souhaité :

Théorème 4.7. *Soit k un corps de caractéristique nulle, G un k-groupe connexe, X un espace homogène de G, à stabilisateurs géométriques linéaires connexes $\overline{H}$. Définissons le complexe de modules galoisiens suivant*

$$\widehat{\widehat{C}}_X := \left[\widehat{G} \to \widehat{Z_{\overline{H}^{\mathrm{red}}}} \to \widehat{Z_{\overline{H}^{\mathrm{sc}}}}\right]\,.$$

- *On a des isomorphismes naturels*

$$\mathbf{H}^0(k, \widehat{\widehat{C}}_X) \cong \mathbf{H}^0(k, C_{\overline{G}/X}) \cong U(X)\,.$$

- *On a des suites exactes :*

(25)
$$0 \to \mathbf{H}^1(k, \widehat{\overline{C}}_X) \to \mathbf{H}^1(k, C_{\overline{G}/X}) \to \mathrm{Pic}(\overline{G})^{\Gamma_k} \to \mathbf{H}^2(k, \widehat{\overline{C}}_X) \to \mathbf{H}^2(k, C_{\overline{G}/X}) \to H^1(k, \mathrm{Pic}(\overline{G}))$$

et

(26) $$0 \to \mathrm{Pic}(X) \to \mathbf{H}^1(k, C_{\overline{G}/X}) \to \mathrm{Br}(k) \to \mathrm{Br}_1(X, G) \to \mathbf{H}^2(k, C_{\overline{G}/X}) \to N^3(k, \mathbf{G}_m)\,,$$

où $N^3(k, \mathbf{G}_m) := \mathrm{Ker}(H^3(k, \mathbf{G}_m) \to H^3(X, \mathbf{G}_m))$*. En particulier, si* $\mathrm{Pic}(\overline{G}) = 0$*, on a une suite exacte naturelle :*

$$0 \to \mathrm{Pic}(X) \to \mathbf{H}^1(k, \widehat{\overline{C}}_X) \to \mathrm{Br}(k) \to \mathrm{Br}_1(X, G) \to \mathbf{H}^2(k, \widehat{\overline{C}}_X) \to N^3(k, \mathbf{G}_m)\,.$$

On en déduit facilement le corollaire suivant concernant le groupe de Picard de X :

Corollaire 4.8. *Considérons les inclusions naturelles*

$$\mathbf{H}^1(k, \widehat{\overline{C}}_X) \xrightarrow{a} \mathbf{H}^1(k, C_{\overline{G}/X}) \xleftarrow{b} \mathrm{Pic}(X)$$

induites par (25) et (26).

- *Si* $X(k) \neq \emptyset$ *ou plus généralement si* $\mathrm{Br}(k)$ *s'injecte dans* $\mathrm{Br}(X)$*, alors* b *est un isomorphisme, donc on a une suite exacte canonique*

$$0 \to \mathbf{H}^1(k, \widehat{\overline{C}}_X) \xrightarrow{a} \mathrm{Pic}(X) \to \mathrm{Pic}(\overline{G})^{\Gamma_k}\,.$$

- *Si* G *est linéaire et* G^{ss} *simplement connexe (i.e.* $\mathrm{Pic}(\overline{G}) = 0$*), alors* a *est un isomorphisme et on a donc une suite exacte canonique*

$$0 \to \mathrm{Pic}(X) \xrightarrow{b} \mathbf{H}^1(k, \widehat{\overline{C}}_X) \to \mathrm{Ker}(\mathrm{Br}(k) \to \mathrm{Br}(X))\,.$$

- *Si* $\mathrm{Br}(k)$ *s'injecte dans* $\mathrm{Br}(X)$ *(par exemple* $X(k) \neq \emptyset$*) et* $\mathrm{Pic}(\overline{G}) = 0$*, alors on a un isomorphisme canonique*

$$\mathbf{H}^1(k, \widehat{\overline{C}}_X) \cong \mathrm{Pic}(X)\,.$$

On déduit de même le corollaire suivant, concernant le groupe de Brauer de X :

Corollaire 4.9. *Considérons les morphismes naturels*

$$\mathbf{H}^2(k, \widehat{\overline{C}}_X) \xrightarrow{a} \mathbf{H}^2(k, C_{\overline{G}/X}) \xleftarrow{b} \mathrm{Br}_a(X, G)$$

induits par (25) et (26).

- *Si* $X(k) \neq \emptyset$ *ou si plus généralement* $H^3(k, \mathbf{G}_m)$ *s'injecte dans* $H^3(X, \mathbf{G}_m)$*, alors* b *est un isomorphisme, donc on a une suite exacte canonique*

$$\mathrm{Pic}(\overline{G})^{\Gamma_k} \to \mathbf{H}^2(k, \widehat{\overline{C}}_X) \xrightarrow{a} \mathrm{Br}_a(X, G) \to H^1(k, \mathrm{Pic}(\overline{G}))\,.$$

- *Si* $\mathrm{Pic}(\overline{G}) = 0$*, alors* a *est un isomorphisme et on a donc une suite exacte canonique*

$$0 \to \mathrm{Br}_a(X, G) \xrightarrow{b} \mathbf{H}^2(k, \widehat{\overline{C}}_X) \to \mathrm{Ker}(H^3(k, \mathbf{G}_m) \to H^3(X, \mathbf{G}_m))\,.$$

- *Si* $H^3(k, \mathbf{G}_m)$ *s'injecte dans* $H^3(X, \mathbf{G}_m)$ *et* $\mathrm{Pic}(\overline{G}) = 0$*, on a un isomorphisme canonique*

$$\mathbf{H}^2(k, \widehat{\overline{C}}_X) \cong \mathrm{Br}_a(X, G)\,.$$

4.1.3. *Cas des espaces homogènes munis d'un point rationnel.* Dans cette sous-section, on s'intéresse au cas d'un espace homogène X d'un groupe connexe G quelconque, sans l'hypothèse $\mathrm{Pic}(\overline{G}) = 0$, mais en supposant que $X(k) \neq \emptyset$. On a besoin d'enlever l'hypothèse $\mathrm{Pic}(\overline{G}) = 0$ pour traiter les espaces homogènes de groupes non linéaires.

On se donne donc un k-sous-groupe connexe $H \subset G$ tel que $X \cong G/H$. Suivant [BCTS08], proposition 3.1, quitte à quotienter G et H par le sous-groupe $Z_G \cap H \subset H$, on peut se ramener au cas où le stabilisateur est linéaire connexe. Aussi, dans les énoncés de cette section, l'hypothèse de linéarité sur H n'est-elle pas restrictive. Dans la suite, on suppose donc H linéaire.

La choix d'une décomposition de Lévi du groupe H induit un morphisme de complexes

$$j : C_H \to C_G \, ,$$

i.e. un carré commutatif de variétés semi-abéliennes :

$$\begin{array}{ccc} T_{H^{\mathrm{sc}}} & \longrightarrow & T_{G^{\mathrm{sc}}} \\ \downarrow & & \downarrow \\ T_H & \longrightarrow & \mathrm{SA}_G \, . \end{array}$$

Ce morphisme de complexes est défini à isomorphisme près (deux décompositions de Lévi définissent des carrés commutatifs isomorphes). On définit alors C_X comme le cône du morphisme de complexes $C_H \to C_G$, à savoir comme le complexe de longueur 3 suivant :

$$C_X := \mathrm{Cône}(C_H \to C_G) = [T_{H^{\mathrm{sc}}} \to T_H \oplus T_{G^{\mathrm{sc}}} \to \mathrm{SA}_G]$$

formé de variétés semi-abéliennes. On peut alors définir un nouveau complexe $\widehat{C}''_X$ comme le dual de ce complexe dans la catégorie des complexes de 1-motifs, c'est-à-dire comme le complexe de 1-motifs suivant :

$$\widehat{C}''_X := [\mathrm{SA}_G^* \to \widehat{T_H} \oplus \widehat{T_{G^{\mathrm{sc}}}} \to \widehat{T_{H^{\mathrm{sc}}}}]$$

(si S est une variété semi-abélienne, S^* est le 1-motif dual du 1-motif $[0 \to S]$ associé à S). En écrivant chacun des 1-motifs comme un complexe de longueur 2, $\widehat{C}''_X$ s'identifie au complexe de complexes suivant :

$$\begin{array}{ccccc} \widehat{T_{G^{\mathrm{lin}}}} & \longrightarrow & \widehat{T_H} \oplus \widehat{T_{G^{\mathrm{sc}}}} & \longrightarrow & \widehat{T_{H^{\mathrm{sc}}}} \\ \downarrow & & \downarrow & & \downarrow \\ (G^{\mathrm{ab}})^* & \longrightarrow & 0 & \longrightarrow & 0 \, . \end{array}$$

On s'intéresse plus exactement aux sections sur $\overline{k}$ du cône de ce double complexe, à savoir au complexe de modules galoisiens :

$$\widehat{C}_X := [\widehat{T_{G^{\mathrm{lin}}}} \to (G^{\mathrm{ab}})^*(\overline{k}) \oplus \widehat{T_H} \oplus \widehat{T_{G^{\mathrm{sc}}}} \to \widehat{T_{H^{\mathrm{sc}}}}] \, .$$

On introduit également une variante de ce complexe notée $\widehat{C}'_X$, qui est utile dans la suite :

$$\widehat{C}'_X := [\widehat{T_{G^{\mathrm{lin}}}} \to \mathrm{Pic}(\overline{G}^{\mathrm{ab}}) \oplus \widehat{T_H} \oplus \widehat{T_{G^{\mathrm{sc}}}} \to \widehat{T_{H^{\mathrm{sc}}}}] \, .$$

On dispose en particulier d'un triangle exact canonique

$$\widehat{C}_X \to \widehat{C}'_X \to \mathrm{NS}(\overline{G}^{\mathrm{ab}})[-1] \to \widehat{C}_X[1] \, .$$

Exemples :

- Si G est linéaire, on trouve le complexe de modules galoisiens de type fini :

$$\widehat{C}_X = [\widehat{T_G} \to \widehat{T_H} \oplus \widehat{T_{G^{\mathrm{sc}}}} \to \widehat{T_{H^{\mathrm{sc}}}}] \, .$$

- Si G^{ss} est simplement connexe, on a un quasi-isomorphisme naturel
$$\widehat{C}_X = [\widehat{G^{\mathrm{tor}}} \to (G^{\mathrm{ab}})^*(\overline{k}) \oplus \widehat{T_H} \to \widehat{T_{H^{\mathrm{sc}}}}]\,.$$
- Si G est linéaire et G^{ss} est simplement connexe, on obtient le complexe de modules galoisiens de type fini suivant : $\widehat{C}_X = [\widehat{G} \to \widehat{T_H} \to \widehat{T_{H^{\mathrm{sc}}}}]$.
- Si $H = 1$, i.e. $X = G$, on obtient le complexe $\widehat{C}_G = [\widehat{T_{G^{\mathrm{lin}}}} \to (G^{\mathrm{ab}})^*(\overline{k}) \oplus \widehat{T_{G^{\mathrm{sc}}}}]$ qui, si G est linéaire, est exactement $[\widehat{T_G} \to \widehat{T_{G^{\mathrm{sc}}}}] \cong \mathrm{UPic}(\overline{G})$ (voir [BvH09], théorème 4.8).
- Si G est semi-simple simplement connexe, on obtient $\widehat{C}_X := [0 \to \widehat{T_H} \to \widehat{T_{H^{\mathrm{sc}}}}]$, qui s'identifie à $\mathrm{UPic}(\overline{H})[-1]$.

Dans tous les cas, on remarque que les complexes $\widehat{C}_X$ et $\widehat{C}'_X$ s'intègrent naturellement dans les triangles exacts suivants :
$$\widehat{C}_X \to \widehat{C}_G \to \widehat{C}_H \to \widehat{C}_X[1]$$
$$\widehat{C}'_X \to \widehat{C}'_G \to \widehat{C}_H \to \widehat{C}'_X[1]\,.$$
Remarquons que ce dernier triangle exact s'identifie, grâce au théorème 4.4, au triangle exact
$$\widehat{C}'_X \to \mathrm{UPic}(\overline{G}) \to \mathrm{UPic}(\overline{H}) \to \widehat{C}'_X[1]\,.$$
On voit donc que $\widehat{C}'_X[1]$ est un cône du morphisme $\mathrm{UPic}(\overline{G}) \to \mathrm{UPic}(\overline{H})$.

On dispose également d'une présentation du complexe $\widehat{C}_X$ à l'aide du centre de H^{red} : en effet, le centre $Z_{H^{\mathrm{red}}}$ de H^{red} est contenu dans le tore maximal T_H de H^{red}, et le diagramme commutatif suivant
$$\begin{array}{ccc} Z_{H^{\mathrm{sc}}} & \longrightarrow & T_{H^{\mathrm{sc}}} \\ \downarrow & & \downarrow \\ Z_{H^{\mathrm{red}}} & \longrightarrow & T_H \end{array}$$
définit un quasi-isomorphisme de complexes entre $[Z_{H^{\mathrm{sc}}} \to Z_{H^{\mathrm{red}}}]$ et $[T_{H^{\mathrm{sc}}} \to T_H]$, lequel induit par dualité un quasi-isomorphisme canonique
$$\widehat{C}_X \xrightarrow{\mathrm{qis}} [\widehat{T_{G^{\mathrm{lin}}}} \to (G^{\mathrm{ab}})^*(\overline{k}) \oplus \widehat{Z_{H^{\mathrm{red}}}} \oplus \widehat{T_{G^{\mathrm{sc}}}} \to \widehat{Z_{H^{\mathrm{sc}}}}]\,.$$

C'est ce complexe faisant intervenir le centre de H qui est utile. On souhaite relier le complexe $\widehat{C}_X$ au groupe de Brauer de X. Le point crucial est le théorème suivant :

Théorème 4.10. *Soit $X = G/H$, avec G connexe et H linéaire connexe. Il existe alors dans la catégorie dérivée un isomorphisme canonique*
$$\widehat{C}'_X \cong C_{\overline{G}/X}$$
et un triangle exact canonique
$$\widehat{C}_X \to C_{\overline{G}/X} \to \mathrm{NS}(\overline{G}^{\mathrm{ab}})[-1] \to \widehat{C}_X[1]\,.$$

Démonstration. On fixe une décomposition de Lévi pour H. Posons $Z' := T_G/Z_{H^{\mathrm{red}}}$, $Z := G/Z_{H^{\mathrm{red}}}$ et $H' := H^{\mathrm{red}}/Z_{H^{\mathrm{red}}}$. On construit un diagramme commutatif analogue au

diagramme (24), à savoir :

(27)
$$
\begin{array}{ccccc}
\widehat{T_G} & \longrightarrow & \mathrm{Pic}(\overline{G}^{\mathrm{ab}}) \oplus \widehat{T_{G^{\mathrm{sc}}}} \oplus \widehat{Z_{\overline{H}^{\mathrm{red}}}} & \longrightarrow & \widehat{Z_{\overline{H}^{\mathrm{sc}}}} \\
\big\downarrow{\scriptstyle =} & & \big\downarrow{\scriptstyle \cong} & & \big\downarrow{\scriptstyle \cong} \\
\widehat{T_G} & \longrightarrow & \mathrm{Pic}(\overline{G}^{\mathrm{ab}}) \oplus \mathrm{Pic}_{\overline{T_G}}(\overline{G}^{\mathrm{lin}}) \oplus \mathrm{Pic}_{\overline{T_G}}(\overline{Z'}) & \longrightarrow & \mathrm{Pic}(\overline{H'}) \\
{\scriptstyle =}\big\uparrow & & {\scriptstyle \cong}\big\uparrow & & {\scriptstyle =}\big\uparrow \\
\widehat{T_G} & \longrightarrow & \mathrm{Pic}_{\overline{T_G}}(\overline{G}) \oplus \mathrm{Pic}_{\overline{T_G}}(\overline{Z'}) & \longrightarrow & \mathrm{Pic}(\overline{H'}) \\
{\scriptstyle =}\big\uparrow & & \big\uparrow & & {\scriptstyle =}\big\uparrow \\
\widehat{T_G} & \longrightarrow & \mathrm{Pic}_{\overline{T_G}}(\overline{Z}) & \longrightarrow & \mathrm{Pic}(\overline{H'}) \\
{\scriptstyle \mathrm{pr}_1}\big\uparrow & & {\scriptstyle \nu'}\big\uparrow & & {\scriptstyle =}\big\uparrow \\
\widehat{T_G} \oplus \overline{k}(Z)^*/\overline{k}^* & \longrightarrow & \mathrm{UPic}_{\overline{T_G}}(\overline{Z})^1 & \longrightarrow & \mathrm{Pic}(\overline{H'}) \\
\big\downarrow{\scriptstyle \mathrm{pr}_2} & & \big\downarrow{\scriptstyle \mu} & & \big\downarrow{\scriptstyle \cong} \\
\overline{k}(Z)^*/\overline{k}^* & \longrightarrow & \mathrm{Div}(\overline{Z}) & \longrightarrow & \mathrm{Pic}'(\overline{Z}/\overline{X})\,.
\end{array}
$$

Le morphisme entre la première et la deuxième ligne est clairement un isomorphisme de complexes. Le morphisme entre la troisième et la deuxième est un isomorphisme de complexes par le lemme 4.6. Montrons que le morphisme entre les quatrième et troisième lignes est un isomorphisme. Il suffit de montrer que le morphisme central

$$\mathrm{Pic}_{\overline{T_G}}(\overline{Z}) \to \mathrm{Pic}_{\overline{T_G}}(\overline{G}) \oplus \mathrm{Pic}_{\overline{T_G}}(\overline{Z'})$$

est un isomorphisme.

Lemme 4.11. *Soient $H_1 \subset H_2 \subset G$ trois k-groupes. On suppose que G est connexe et que H_2 est linéaire connexe. Alors on a des isomorphismes canoniques*

$$\mathrm{Pic}_{H_2}(G/H_1) \xrightarrow{\cong} \mathrm{Pic}_{H_2}(G) \oplus \mathrm{Pic}_{H_2}(H_2/H_1) \xleftarrow{\cong} \mathrm{Pic}(G/H_2) \oplus \mathrm{Pic}_{H_2}(H_2/H_1)\,.$$

Démonstration. Notons $K := \mathrm{Ker}(\widehat{H_1} \to \mathrm{Pic}(G/H_1))$. On considère le diagramme commutatif exact suivant (voir notamment [KKV89], proposition 5.1) :

$$
\begin{array}{ccccccccccc}
0 & & 0 & & 0 & & & & \widehat{H_1}/U(G) & & \\
\big\downarrow & & \big\downarrow & & \big\downarrow & & & & \big\downarrow & & \\
U(G/H_2) & \hookrightarrow & U(G/H_1) & \longrightarrow & \widehat{H_2} & \longrightarrow & \mathrm{Pic}_{H_2}(G/H_1) & \longrightarrow & \mathrm{Pic}(G/H_1) & \longrightarrow & \mathrm{Pic}(H_2) \\
\big\downarrow{\scriptstyle =} & & \big\downarrow & & \big\downarrow{\scriptstyle =} & & \big\downarrow & & \big\downarrow & & \big\downarrow{\scriptstyle =} \\
U(G/H_2) & \hookrightarrow & U(G) & \longrightarrow & \widehat{H_2} & \longrightarrow & \mathrm{Pic}_{H_2}(G) & \longrightarrow & \mathrm{Pic}(G) & \longrightarrow & \mathrm{Pic}(H_2) \\
\big\downarrow & & \big\downarrow & & \big\downarrow & & & & & & \\
0 & & K & & 0 & & & & & & .
\end{array}
$$

Le lemme du serpent assure alors que l'on a une suite exacte canonique

$$0 \to K \to \mathrm{Ker}(\mathrm{Pic}_{H_2}(G/H_1) \to \mathrm{Pic}_{H_2}(G)) \to \widehat{H_1}/U(G) \to 0$$

qui s'intègre dans le diagramme exact

$$\begin{array}{ccccccccc} 0 & \longrightarrow & K & \longrightarrow & \widehat{H_1} & \longrightarrow & \widehat{H_1}/U(G) & \longrightarrow & 0 \\ & & \downarrow = & & \downarrow & & \downarrow = & & \\ 0 & \longrightarrow & K & \longrightarrow & \mathrm{Ker}(\mathrm{Pic}_{H_2}(G/H_1) \to \mathrm{Pic}_{H_2}(G)) & \longrightarrow & \widehat{H_1}/U(G) & \longrightarrow & 0\,, \end{array}$$

où le morphisme central est la composée $\widehat{H_1} \xrightarrow{\cong} \mathrm{Pic}_{H_2}(H_2/H_1) \to \mathrm{Pic}_{H_2}(G/H_1)$. On vérifie facilement que le diagramme précédent est commutatif, et le lemme des 5 assure donc que l'on a des isomorphismes canoniques

$$\widehat{H_1} \xrightarrow{\cong} \mathrm{Pic}_{H_2}(H_2/H_1) \xrightarrow{\cong} \mathrm{Ker}(\mathrm{Pic}_{H_2}(G/H_1) \to \mathrm{Pic}_{H_2}(G))\,.$$

Par conséquent, la suite naturelle

$$0 \to \mathrm{Pic}_{H_2}(H_2/H_1) \to \mathrm{Pic}_{H_2}(G/H_1) \to \mathrm{Pic}_{H_2}(G)$$

est exacte. Enfin, le morphisme $\mathrm{Pic}_{H_2}(G/H_1) \to \mathrm{Pic}_{H_2}(G)$ est scindé via la composée

$$\mathrm{Pic}_{H_2}(G) \xleftarrow{\cong} \mathrm{Pic}(G/H_2) \hookrightarrow \mathrm{Pic}_{H_2}(G/H_1)\,,$$

d'où le lemme. □

On applique alors ce lemme à $H_1 = Z_{H^{\mathrm{red}}}$ et $H_2 = T_G$ pour obtenir l'isomorphisme souhaité, et donc les complexes des lignes 3 et 4 du diagramme (27) sont isomorphes.

Poursuivons la preuve du théorème : il est clair que le morphisme entre les lignes 5 et 4 réalise un quasi-isomorphisme entre les complexes correspondants.

Montrons enfin que le morphisme entre les lignes 5 et 6 est un quasi-isomorphisme : en degré 0, c'est immédiat. En degré 1, c'est clair en utilisant que $s : \mathrm{Pic}(\overline{H}') \to \mathrm{Pic}'(\overline{Z}/\overline{X})$ est injectif et en s'inspirant de la preuve du lemme 4.5. Pour le degré 2, cela résulte du fait que le morphisme canonique $s : \mathrm{Pic}(\overline{H}') \to \mathrm{Pic}'(\overline{Z}/\overline{X})$ est un isomorphisme grâce au corollaire 1.8.

Finalement, le diagramme (27) définit un isomorphisme canonique dans la catégorie dérivée

$$\widehat{C}'_X \xrightarrow{\cong} C_{\overline{G}/X}\,,$$

ce qui conclut la preuve du théorème. □

Déduisons des théorèmes 2.1 et 4.10, le résultat suivant :

Théorème 4.12. *Soit $X = G/H$, avec G connexe, H linéaire connexe. Alors on a des isomorphismes, fonctoriels en (X, Y, H, π) :*

$$\mathbf{H}^0(k, \widehat{C}_X) \xrightarrow{\cong} \mathbf{H}^0(k, \widehat{C}'_X) \xrightarrow{\cong} U(X)\,,$$

$$\mathbf{H}^1(k, \widehat{C}'_X) \xrightarrow{\cong} \mathrm{Pic}(X)\,,\ \ \mathbf{H}^2(k, \widehat{C}'_X) \xrightarrow{\cong} \mathrm{Br}_a(X, G)\,,$$

et une suite exacte fonctorielle :

$$0 \to \mathbf{H}^1(k, \widehat{C}_X) \to \mathrm{Pic}(X) \to \mathrm{NS}(\overline{G}^{\mathrm{ab}})^{\Gamma_k} \to \mathbf{H}^2(k, \widehat{C}_X) \to \mathrm{Br}_a(X, G) \to H^1(k, \mathrm{NS}(\overline{G}^{\mathrm{ab}}))\,.$$

En particulier, si le groupe G est linéaire, on a trois isomorphismes

$$\mathbf{H}^0(k, \widehat{C}_X) \xrightarrow{\cong} U(X)\,,\ \ \mathbf{H}^1(k, \widehat{C}_X) \xrightarrow{\cong} \mathrm{Pic}(X)\,,\ \ \mathbf{H}^2(k, \widehat{C}_X) \xrightarrow{\cong} \mathrm{Br}_a(X, G)\,.$$

Démonstration. Par le théorème 4.4, on dispose d'un isomorphisme $\widehat{C}'_X \cong C_{\overline{G}/X}$ et d'un triangle exact

$$\widehat{C}_X \to C_{\overline{G}/X} \to \mathrm{NS}(\overline{G}^{\mathrm{ab}})[-1] \to \widehat{C}_X[1]\,.$$

On considère la suite exacte longue d'hypercohomologie associée à ce triangle, et le corollaire 3.3 assure alors le résultat, puisque $G(k) \neq \emptyset$. □

4.2. **Comparaison avec des résultats antérieurs.** On compare ici les résultats obtenus aux théorèmes 4.7, 4.10 et 4.12, ainsi qu'aux corollaires 4.8 et 4.9, avec des résultats antérieurs de Sansuc, Borovoi et Van Hamel, Harari et Szamuely.

On poursuit avec les mêmes notations que précédemment : X est un espace homogène d'un groupe connexe G sur un corps k de caractéristique nulle. On suppose les stabilisateurs géométriques $\overline{H}$ de X connexes.

4.2.1. *Cas où* $\overline{H} = 1$. On s'intéresse donc aux torseurs sous un groupe connexe G. Suivant le lemme 5.2.(iii) de [BvH09], on dispose d'un quasi-isomorphisme canonique $\varphi : \mathrm{UPic}(\overline{X}) \xrightarrow{\cong} \mathrm{UPic}(\overline{G})$.

On voit que le théorème 4.7 et ses corollaires généralisent les résultats de Sansuc (voir [San81], section 6) qui donnent des formules pour $U(X)$, $\mathrm{Pic}(X)$ et $\mathrm{Br}_a(X)$ quand G est un k-tore ou un k-groupe semi-simple.

Plus récemment, citons les travaux de Harari et Szamuely (voir [HS08], section 4) qui obtiennent une formule pour $\mathrm{Br}_a(X)$ dans le cas où G est une variété semi-abélienne. Plus exactement, sous l'hypothèse $H^3(k, \mathbf{G}_m) = 0$, les auteurs construisent un morphisme canonique

$$\mathbf{H}^1(k, G^*) \to \mathrm{Br}_a(X)\,,$$

qui est compatible en un certain sens avec l'accouplement de Brauer-Manin. Sous la même hypothèse $H^3(k, \mathbf{G}_m) = 0$, on étend et on précise ici cette construction pour un espace principal homogène X sous un groupe connexe G quelconque avec le théorème 4.4 qui fournit une suite exacte

$$\mathrm{NS}(\overline{G}^{\mathrm{ab}})^{\Gamma_k} \to \mathbf{H}^2(k, \widehat{C}_G) \xrightarrow{a} \mathrm{Br}_a(X) \to H^1(k, \mathrm{NS}(\overline{G}^{\mathrm{ab}}))\,.$$

En effet, par construction, si G est une variété semi-abélienne, on a un quasi-isomorphisme naturel $G^*(\overline{k}) \cong \widehat{C}_G[1]$ (avec les conventions de [HS08] pour le 1-motif G^*).

Enfin, Borovoi et van Hamel obtiennent dans [BvH09] des formules dans le cas où G est linéaire connexe quelconque. Plus précisémment, ils montrent par exemple que l'on a un isomorphisme canonique

$$\mathrm{Br}_a(X) \cong \mathbf{H}^2(k, [\widehat{T}_G \to \widehat{T}_G^{\mathrm{sc}}])\,,$$

sous l'hypothèse $H^3(k, \mathbf{G}_m) = 0$. On retrouve ici ce résultat comme cas particulier du théorème 4.7.

4.2.2. *Cas où G est linéaire.* Dans ce cas, le résultat principal est dû à Borovoi et van Hamel (voir [BvH06] corollaire 3.2 et [BvH10] théorème 7.2) : il décrit le groupe de Brauer algébrique de X. Plus précisémment, les auteurs montrent (sans hypothèse de connexité pour les stabilisateurs) l'existence d'un morphisme injectif canonique

$$\mathrm{Br}_a(X) \to \mathbf{H}^2(k, [\widehat{\overline{G}} \to \widehat{\overline{H}}])$$

qui est un isomorphisme si $X(k) \neq \emptyset$ ou $H^3(k, \mathbf{G}_m) = 0$. On peut retrouver ce résultat, si $\overline{H}$ est connexe, à partir du corollaire 4.9, en calculant les éléments algébriques dans $\mathbf{H}^2(k, \widehat{\overline{C}}_X)$.

Remarque 4.13. Notons que tous ces résultats antérieurs se limitent à décrire le groupe de Brauer *algébrique* $\mathrm{Br}_a(X)$ de l'espace homogène X. Dans le présent texte, on considère le groupe $\mathrm{Br}_a(X,G)$, contenant $\mathrm{Br}_a(X)$, mais qui peut contenir des éléments transcendants.

4.3. **Lien avec le complexe UPic($\overline{X}$) : groupe de Brauer algébrique.** On relie ici les résultats obtenus aux sections précédentes à ceux de Borovoi et van Hamel dans [BvH09], [BvH06] et [BvH10], qui traitent du groupe de Brauer algébrique.

Dans cette section, H est un groupe algébrique linéaire connexe, X est une k-variété lisse géométriquement intégre et $\pi : Y \xrightarrow{H} X$ est un torseur sous H.

On dispose comme plus haut d'un diagramme commutatif de torseurs :

$$\begin{array}{ccccc} Y & \xrightarrow{H^{\mathrm{u}}} & Z' & & \\ & \searrow^{H} & \downarrow{\scriptstyle H^{\mathrm{red}}} & \searrow^{Z_{H^{\mathrm{red}}}} & \\ & & & & Z \\ & & X & \swarrow_{H'} & \end{array} .$$

On vérifie alors facilement que le diagramme commutatif

$$\begin{array}{ccccc} \overline{k}(X)^*/\overline{k}^* & \longrightarrow & \mathrm{Div}(\overline{X}) & \longrightarrow & 0 \\ \downarrow{\scriptstyle p^*} & & \downarrow{\scriptstyle p^*} & & \downarrow \\ \overline{k}(Z)^*/\overline{k}^* & \longrightarrow & \mathrm{Div}(\overline{Z}) & \longrightarrow & \mathrm{Pic}(\overline{H'}) \\ \downarrow & & \downarrow & & \downarrow \\ 0 & \longrightarrow & 0 & \longrightarrow & \mathrm{Pic}(\overline{H'})/\mathrm{Pic}(\overline{Z}) \end{array}$$

induit un triangle exact

$$\mathrm{UPic}(\overline{X}) \to C_{\overline{Y}/X} \to \mathrm{Pic}(\overline{H'})/\mathrm{Pic}(\overline{Z})[-2] \to \mathrm{UPic}(\overline{X})[1] .$$

Enfin, considérons le diagramme commutatif à lignes exactes suivant :

$$\begin{array}{ccccccccccc} 0 & \longrightarrow & \mathrm{Pic}(\overline{X}) & \longrightarrow & \mathrm{Pic}(\overline{Z}) & \xrightarrow{\varphi'} & \mathrm{Pic}(\overline{H'}) & \xrightarrow{\Delta_{Z/X}} & \mathrm{Br}(\overline{X}) & \longrightarrow & \mathrm{Br}(\overline{Z}) \\ & & \downarrow{\scriptstyle =} & & \downarrow & & \downarrow & & \downarrow{\scriptstyle =} & & \downarrow \\ & & \mathrm{Pic}(\overline{X}) & \longrightarrow & \mathrm{Pic}(\overline{Y}) & \xrightarrow{\varphi} & \mathrm{Pic}(\overline{H}) & \xrightarrow{\Delta_{Y/X}} & \mathrm{Br}(\overline{X}) & \longrightarrow & \mathrm{Br}(\overline{Y}) . \end{array} \tag{28}$$

Puisque $\mathrm{Pic}(\overline{H'}) \to \mathrm{Pic}(\overline{H})$ est surjectif (cf lemme 2.4), une chasse au diagramme assure que (28) induit un isomorphisme

$$\mathrm{Pic}(\overline{H'})/\mathrm{Pic}(\overline{Z}) \cong \mathrm{Pic}(\overline{H})/\mathrm{Pic}(\overline{Y}) \cong \mathrm{Ker}(\mathrm{Br}(\overline{X}) \to \mathrm{Br}(\overline{Y})) .$$

Finalement, on en déduit la proposition suivante :

Proposition 4.14. *Soit H un k-groupe linéaire connexe, X une k-variété lisse géométriquement intègre et $\pi : Y \xrightarrow{H} X$ un torseur sous H. On a alors un triangle exact canonique*

$$\mathrm{UPic}(\overline{X}) \to C_{\overline{Y}/X} \to \left(\mathrm{Pic}(\overline{H})/\mathrm{Pic}(\overline{Y})\right)[-2] \to \mathrm{UPic}(\overline{X})[1]$$

où $\left(\mathrm{Pic}(\overline{H})/\mathrm{Pic}(\overline{Y})\right) \cong \mathrm{Ker}(\mathrm{Br}(\overline{X}) \to \mathrm{Br}(\overline{Y}))$*.*

En particulier, la suite exacte longue associée à ce triangle exact induit la suite exacte :

$$0 \to \mathbf{H}^2(k, \mathrm{UPic}(\overline{X})) \to \mathbf{H}^2(k, C_{\overline{Y}/X}) \to \mathrm{Br}(\overline{X})^{\Gamma_k} .$$

Alors le théorème 2.1 et la proposition 2.19 de [BvH09] assurent que cette suite exacte s'intègre dans le diagramme commutatif à lignes et colonnes exactes suivant :

$$\begin{array}{ccccccc}
0 & \longrightarrow & \mathrm{Br}_a(X) & \longrightarrow & \mathrm{Br}_a(X,Y) & \longrightarrow & \mathrm{Br}(\overline{X})^{\Gamma_k} \\
 & & \big\downarrow & & \big\downarrow & & \big\downarrow = \\
0 & \longrightarrow & \mathbf{H}^2(k, \mathrm{UPic}(\overline{X})) & \longrightarrow & \mathbf{H}^2(k, C_{\overline{Y}/X}) & \longrightarrow & \mathrm{Br}(\overline{X})^{\Gamma_k} \\
 & & \big\downarrow & & \big\downarrow & & \big\downarrow \\
0 & \longrightarrow & N^3(k, \mathbf{G}_m) & \xrightarrow{=} & N^3(k, \mathbf{G}_m) & \longrightarrow & 0
\end{array}$$

qui illustre le lien entre le théorème 2.1 (deuxième colonne) et le résultat de Borovoi et van Hamel (première colonne).

Considérons également le cas des espaces homogènes : soit d'abord G un k-groupe algébrique *linéaire* connexe, tel que $\mathrm{Pic}(\overline{G}) = 0$, et X un espace homogène de G à stabilisateurs géométriques $\overline{H}$ connexes. On a introduit plus haut le complexe

$$\widehat{\overline{C}}_X := [\widehat{\overline{G}} \to \widehat{Z_{\overline{H}^{\mathrm{red}}}} \to \widehat{Z_{\overline{H}^{\mathrm{sc}}}}]$$

et on peut également le comparer au complexe $\mathrm{UPic}(\overline{X})$. En effet, par le théorème 3.1 de [BvH06] (théorème 5.8 de [BvH10]), on a un isomorphisme naturel dans la catégorie dérivée :

$$\mathrm{UPic}(\overline{X}) \cong [\widehat{\overline{G}} \to \widehat{\overline{H}}] ,$$

dont on déduit aisément la proposition suivante :

Proposition 4.15. *Soit G un k-groupe algébrique linéaire connexe, tel que G^{ss} soit simplement connexe (i.e.* $\mathrm{Pic}(\overline{G}) = 0$*), et X un espace homogène de G à stabilisateurs géométriques $\overline{H}$ connexes. On a un triangle exact canonique dans la catégorie dérivée*

$$\mathrm{UPic}(\overline{X}) \to \widehat{\overline{C}}_X \to \mathrm{Pic}(\overline{H})[-2] \to \mathrm{UPic}(\overline{X})[1] .$$

Considérons pour finir le cas d'un espace homogène X d'un groupe G connexe non nécessairement linéaire, à stabilisateurs connexes. Si $X(k) \neq \emptyset$, alors on a un isomorphisme $X \cong G/H$. Comme plus haut, on peut supposer H linéaire connexe et G^{ss} simplement connexe. Le résultat suivant étend le résultat de Borovoi et van Hamel (théorème 3.1 de [BvH06] et théorème 5.8 de [BvH10]) au cas non linéaire :

Proposition 4.16. *Soit $X = G/H$ un espace homogène d'un groupe connexe G, avec G^{ss} simplement connexe et H linéaire (pas forcément connexe). On dispose alors d'un isomorphisme canonique dans la catégorie dérivée :*

$$\mathrm{UPic}(\overline{X}) \cong [\widehat{\overline{G}^{\mathrm{lin}}} \to \mathrm{Pic}(\overline{G}^{\mathrm{ab}}) \oplus \widehat{\overline{H}}] .$$

Démonstration. Notons $X^{\mathrm{lin}} := G^{\mathrm{lin}}/H$. Alors le diagramme commutatif suivant :

$$\begin{array}{ccc}
\widehat{G^{\mathrm{lin}}} & \longrightarrow & \mathrm{Pic}(\overline{G}^{\mathrm{ab}}) \oplus \widehat{H} \\
\Big\downarrow{=} & & \Big\downarrow{\cong} \\
\widehat{G^{\mathrm{lin}}} & \longrightarrow & \mathrm{Pic}_{\overline{G}^{\mathrm{lin}}}(\overline{G}) \oplus \mathrm{Pic}_{\overline{G}^{\mathrm{lin}}}(\overline{X}^{\mathrm{lin}}) \\
{=}\Big\uparrow & & {\cong}\Big\uparrow \\
\widehat{G^{\mathrm{lin}}} & \longrightarrow & \mathrm{Pic}_{\overline{G}^{\mathrm{lin}}}(\overline{X}) \\
\Big\uparrow & & \Big\uparrow \\
\widehat{G^{\mathrm{lin}}} \oplus \overline{k}(X)^*/\overline{k}^* & \longrightarrow & \mathrm{UPic}_{\overline{G}^{\mathrm{lin}}}(\overline{X})^1 \\
\Big\downarrow & & \Big\downarrow \\
\overline{k}(X)^*/\overline{k}^* & \longrightarrow & \mathrm{Div}(\overline{X})
\end{array}$$

réalise un isomorphisme dans la catégorie dérivée (voir lemme 4.11)

$$[\widehat{G^{\mathrm{lin}}} \to \mathrm{Pic}(\overline{G}^{\mathrm{ab}}) \oplus \widehat{H}] \cong \mathrm{UPic}(\overline{X})\,.$$

□

Par conséquent, le théorème 4.4 assure que le triangle exact de la proposition 4.14

$$\mathrm{UPic}(\overline{X}) \to C_{\overline{G}/X} \to \mathrm{Pic}(\overline{H})[-2] \to \mathrm{UPic}(\overline{X})[1]$$

est représentable par le triangle exact évident de complexes

$$[\widehat{G^{\mathrm{lin}}} \to \mathrm{Pic}(\overline{G}^{\mathrm{ab}}) \oplus \widehat{H}] \to [\widehat{G^{\mathrm{lin}}} \to \mathrm{Pic}(\overline{G}^{\mathrm{ab}}) \oplus \widehat{Z_{\overline{H}^{\mathrm{red}}}} \to \widehat{Z_{\overline{H}^{\mathrm{sc}}}}] \to$$

$$\to \widehat{\mu_H}(\overline{k})[-2] \to [\widehat{G^{\mathrm{lin}}} \to \mathrm{Pic}(\overline{G}^{\mathrm{ab}}) \oplus \widehat{H}][1]\,.$$

Références

[BCTS08] Mikhail Borovoi, Jean-Louis Colliot-Thélène et Alexei N. Skorobogatov : The elementary obstruction and homogeneous spaces. *Duke Math. J.*, 141(2):321–364, 2008.

[BD10] Mikhail Borovoi et Cyril Demarche : Manin obstruction to strong approximation for homogeneous spaces. *Comment. Math. Helv.*, 2010. À paraître.

[BLR90] Siegfried Bosch, Werner Lütkebohmert et Michel Raynaud : *Néron models*, volume 21 de *Ergebnisse der Mathematik und ihrer Grenzgebiete (3) [Results in Mathematics and Related Areas (3)]*. Springer-Verlag, Berlin, 1990.

[Bor93] Mikhail Borovoi : Abelianization of the second nonabelian Galois cohomology. *Duke Math. J.*, 72(1):217–239, 1993.

[Bor98] Mikhail Borovoi : Abelian Galois cohomology of reductive groups. *Mem. Amer. Math. Soc.*, 132(626):viii+50, 1998.

[BvH06] Mikhail Borovoi et Joost van Hamel : Extended Picard complexes for algebraic groups and homogeneous spaces. *C. R. Math. Acad. Sci. Paris*, 342(9):671–674, 2006.

[BvH09] Mikhail Borovoi et Joost van Hamel : Extended Picard complexes and linear algebraic groups. *J. Reine Angew. Math.*, 627:53–82, 2009.

[BvH10] Mikhail Borovoi et Joost van Hamel : Extended equivariant Picard complexes and homogeneous spaces. Prépublication, disponible sur `http://arxiv.org/abs/1010.3414`, 2010.

[CE56] Henri Cartan et Samuel Eilenberg : *Homological algebra*. Princeton University Press, Princeton, N. J., 1956.

[Che60] Claude Chevalley : Une démonstration d'un théorème sur les groupes algébriques. *J. Math. Pures Appl. (9)*, 39:307–317, 1960.

[Con02] Brian CONRAD : A modern proof of Chevalley's theorem on algebraic groups. *J. Ramanujan Math. Soc.*, 17(1):1–18, 2002.

[CTK06] Jean-Louis COLLIOT-THÉLÈNE et Boris È. KUNYAVSKIĬ : Groupe de Picard et groupe de Brauer des compactifications lisses d'espaces homogènes. *J. Algebraic Geom.*, 15(4):733–752, 2006.

[CTS87] Jean-Louis COLLIOT-THÉLÈNE et Jean-Jacques SANSUC : La descente sur les variétés rationnelles. II. *Duke Math. J.*, 54(2):375–492, 1987.

[CTX09] Jean-Louis COLLIOT-THÉLÈNE et Fei XU : Brauer-Manin obstruction for integral points of homogeneous spaces and representation by integral quadratic forms. *Compos. Math.*, 145(2): 309–363, 2009. Avec un appendice par Dasheng Wei et Fei Xu.

[Dou06] Jean-Claude DOUAI : Sur la 2-cohomologie galoisienne de la composante résiduellement neutre des groupes réductifs connexes définis sur les corps locaux. *C. R. Math. Acad. Sci. Paris*, 342(11):813–818, 2006.

[FI73] Robert FOSSUM et Birger IVERSEN : On Picard groups of algebraic fibre spaces. *J. Pure Appl. Algebra*, 3:269–280, 1973.

[Gir71] Jean GIRAUD : *Cohomologie non abélienne*. Springer-Verlag, Berlin, 1971. Die Grundlehren der mathematischen Wissenschaften, Band 179.

[Gro68] Alexander GROTHENDIECK : Le groupe de Brauer. I, II et III. *In Dix Exposés sur la Cohomologie des Schémas*, pages 46–188. North-Holland, Amsterdam, 1968.

[HS02] David HARARI et Alexei N. SKOROBOGATOV : Non-abelian cohomology and rational points. *Compositio Math.*, 130(3):241–273, 2002.

[HS08] David HARARI et Tamás SZAMUELY : Local-global principles for 1-motives. *Duke Math. J.*, 143(3):531–557, 2008.

[KKLV89] Friedrich KNOP, Hanspeter KRAFT, Domingo LUNA et Thierry VUST : Local properties of algebraic group actions. *In Algebraische Transformationsgruppen und Invariantentheorie*, volume 13 de *DMV Sem.*, pages 63–75. Birkhäuser, Basel, 1989.

[KKV89] Friedrich KNOP, Hanspeter KRAFT et Thierry VUST : The Picard group of a G-variety. *Algebraische Transformationsgruppen und Invariantentheorie. DMV-Seminar*, 13:77–88, 1989.

[Kot84] Robert E. KOTTWITZ : Stable trace formula : cuspidal tempered terms. *Duke Math. J.*, 51(3): 611–650, 1984.

[Mil80] James S. MILNE : *Étale cohomology*, volume 33 de *Princeton Mathematical Series*. Princeton University Press, Princeton, N.J., 1980.

[Pop74] Vladimir L. POPOV : Picard groups of homogeneous spaces of linear algebraic groups and one-dimensional homogeneous vector fiberings. *Izv. Akad. Nauk SSSR Ser. Mat.*, 38:294–322, 1974.

[Ray70] Michel RAYNAUD : *Faisceaux amples sur les schémas en groupes et les espaces homogènes*. Lecture Notes in Mathematics, Vol. 119. Springer-Verlag, Berlin, 1970.

[Ros56] Maxwell ROSENLICHT : Some basic theorems on algebraic groups. *Amer. J. Math.*, 78:401–443, 1956.

[San81] Jean-Jacques SANSUC : Groupe de Brauer et arithmétique des groupes algébriques linéaires sur un corps de nombres. *J. reine angew. Math.*, 327:12–80, 1981.

[Wei94] Charles A. WEIBEL : *An introduction to homological algebra*, volume 38 de *Cambridge Studies in Advanced Mathematics*. Cambridge University Press, Cambridge, 1994.

CYRIL DEMARCHE
UNIVERSITÉ PIERRE ET MARIE CURIE (PARIS 6)
INSTITUT DE MATHÉMATIQUES DE JUSSIEU
4 PLACE JUSSIEU, 75252 PARIS CEDEX 05
FRANCE

E-mail address: demarche@math.jussieu.fr